

**SINIRSIZ PETRİ AĞLARI İÇİN  
TERSİNE DÖNÜŞEBİLİRLİĞİ GARANTİ  
EDEN SINIR VEKTÖRLERİNİN BULUNMASI**

**Hanife APAYDIN**

**Yüksek Lisans Tezi**

**Elektrik-Elektronik Mühendisliği**

**Anabilim Dalı**

**Aralık 2004**

## JÜRİ VE ENSTİTÜ ONAYI

Hanife Apaydın'ın Sınırsız Petri Ağları için Tersine Dönüşebilirliği Garanti Eden Sınır Vektörlerinin Bulunması başlıklı Elektrik-Elektronik Mühendisliği Anabilim Dalındaki Yüksek Lisans tezi **03.12.2004** tarihinde aşağıdaki jüri tarafından Anadolu Üniversitesi Lisansüstü Eğitim-Öğretim ve Sınav Yönetmeliğinin ilgili maddeleri uyarınca değerlendirilerek kabul edilmiştir.

Adı-Soyadı

İmza

Üye (Tez Danışmanı): Yard. Doç. Dr. Aydın AYBAR

Üye : Prof. Dr. Altuğ İFTAR

Üye : Yard. Doç. Dr. Yusuf OYSAL

Anadolu Üniversitesi Fen Bilimleri Enstitüsü Yönetim Kurulu'nun **12.01.2005** tarih ve **3/1**... sayılı kararıyla onaylanmıştır.

Enstitü Müdürü

**Prof. Dr. Altuğ İFTAR**  
Fen Bilimleri Enstitüsü  
Müdürü

## ÖZET

Yüksek Lisans Tezi

### SINIRSIZ PETRİ AĞLARI İÇİN TERSİNE DÖNÜŞEBİLİRLİĞİ GARANTİ EDEN SINIR VEKTÖRLERİNİN BULUNMASI

HANİFE APAYDIN

Anadolu Üniversitesi

Fen Bilimleri Enstitüsü

Elektrik-Elektronik Mühendisliği Anabilim Dalı

Danışman: Yard. Doç. Dr. Aydın Aybar

2004, 94 sayfa

Bu tezde sınırsız Petri ağlarında, tersine dönüşebilirlik özelliğini garanti eden bir sınır vektörünün bulunması için iki yöntem geliştirilmiştir. Yöntem 1, Petri ağının ulaşılabilirlik kümesinin tersine dönüşebilir bir alt kümesindeki tüm işaretleme vektörlerini kapsayan bir sınır vektörü; Yöntem 2, Petri ağının başlangıç durumuna dönen yollar (geçişler ve işaretleme vektörlerinden oluşan diziler) elde ederek, bu yollardaki işaretleme vektörlerini, dolayısıyla ağın ulaşılabilirlik kümesinin tersine dönüşebilir bir alt kümesindeki tüm işaretleme vektörlerini kapsayan bir sınır vektörü önermektedir. Bu yöntemlerden herhangi biriyle elde edilen bir sınır vektöründen yararlanarak tasarlanan bir kontrolör yardımıyla sınırsız bir Petri ağının tersine dönüşebilirliği garanti edilmektedir.

Anahtar Kelimeler: Petri ağları; Sınır vektörü; Tersine dönüşebilirlik  
Kapsayabilirlik ağacı; T-değişmezi.

# ABSTRACT

Master of Science Thesis

## DETERMINATION OF BOUND VECTORS TO GUARANTEE REVERSIBILITY FOR UNBOUNDED PETRI NETS

HANİFE APAYDIN

Anadolu University  
Graduate School of Sciences  
Electrical and Electronics Engineering Program

Supervisor: Assist. Prof. Aydın Aybar

2004, 94 pages

In this thesis, two methods yielding bound vectors which guarantee reversibility of an unbounded Petri net are developed. Method 1 proposes a bound vector that covers all of the marking vectors in a reversible subset of the reachability set of the Petri net. Method 2 finds loops including initial marking of the Petri net and proposes a bound vector that covers all of the vectors in these loops, consequently it covers all of the marking vectors in a reversible subset of the reachability set of the Petri Net. Reversibility of an unbounded Petri net is guaranteed by a controller designed by using a bound vector which is determined by one of these methods.

Keywords: Petri nets; Bound vector; Reversibility; T-invariant; Incidence matrix.

## TEŐEKKÜR

Çalıőmalarım boyunca beni destekleyen, bilgi ve tecrübelerini benimle paylaőan sayın hocam Yard. Doç. Dr. Aydın Aybar'a, ayrıca tez savunma- ma katılarak destek olan, yardım ve önerilerini esirgemeyen hocalarım sayın Prof.Dr. Altuğ İftar'a ve sayın Yard. Doç. Dr. Yusuf Oysal'a katkılarından dolayı teőekkürlerimi sunarım.

Değerli aileme ve eőim Erkan Özkan'a sonsuz sabır ve desteklerinden dolayı, arkadaşlarım Ümmühan Başaran ve Nuray At'a her türlü yardımların- dan dolayı teőekkür ederim.

Hanife Apaydın

Aralık 2004

# İÇİNDEKİLER

	<u>Sayfa</u>
ÖZET .....	i
ABSTRACT .....	ii
TEŞEKKÜR .....	iii
İÇİNDEKİLER .....	iv
ŞEKİLLER DİZİNİ .....	vi
SİMGELER DİZİNİ .....	vii
1. GİRİŞ .....	1
2. PETRİ AĞLARI .....	4
2.1. Petri Ağlarının Özellikleri .....	6
3. PETRİ AĞLARI İÇİN ANALİZ YÖNTEMLERİ .....	8
3.1. Kapsayabilirlik Ağacı .....	8
3.2. Kapsayabilirlik Ağacı ile Petri Ağı Analizi .....	12
3.3. Çakışım Matrisi .....	15
3.3.1. T Değişmezi .....	15
3.3.2. T Değişmezinin Bulunması .....	16
3.4. Çakışım Matrisi ile Petri Ağı Analizi .....	18
4. TERSİNE DÖNÜŞEBİLİRLİK .....	20
4.1. Yöntem 1 .....	20
4.2. Yöntem 2 .....	30

4.3. K Sınır Vektörü ile Kontrolör Tasarımı.....	35
<b>5. UYGULAMALAR .....</b>	<b>36</b>
5.1. Uygulama 1 .....	36
5.1.1. 1.Uygulama İçin Yöntem 1 .....	37
5.1.2. 1.Uygulama İçin Yöntem 2 .....	37
5.2. Uygulama 2 .....	38
5.2.1. 2.Uygulama İçin Yöntem 1 .....	39
5.2.2. 2.Uygulama İçin Yöntem 2 .....	39
<b>6. SONUÇLAR .....</b>	<b>41</b>
<b>KAYNAKLAR .....</b>	<b>43</b>
<b>EK-A .....</b>	<b>45</b>
<b>EK-B .....</b>	<b>57</b>
<b>EK-C .....</b>	<b>61</b>
<b>EK-D .....</b>	<b>84</b>
<b>EK-E .....</b>	<b>94</b>

## ŞEKİLLER DİZİNİ

	<u>Sayfa</u>
2.1. Bir Petri ağı.....	4
3.1. (a) Petri ağı-1 ve (b) Petri ağı-1 için kapsayabilirlik ağacı.....	10
3.2. (a) Petri ağı-2 ve (b) Petri ağı-2 için kapsayabilirlik ağacı.....	10
3.3. Şekil 3.2'deki Petri ağı için Cover.m programının çıktı dosyası.....	12
3.4. Örnek 3.1 için bir Petri ağı.....	14
3.5. Örnek 3.1 için Cover.m programının çıktı dosyası.....	14
4.1. Örnek bir Petri ağı.....	28
4.2. Şekil 4.1 için Yöntem1.m programının çıktı dosyası.....	29
4.3. Şekil 4.1 için Yöntem2.m programının çıktı dosyası.....	35
5.1. 1.Uygulama için Petri ağı.....	36
5.2. 1.Uygulama için Yöntem1.m programının çıktı dosyası.....	37
5.3. 1.Uygulama için Yöntem2.m programının çıktı dosyası.....	38
5.4. 2.Uygulama için Petri ağı.....	38
5.5. 2.Uygulama için Yöntem1.m programının çıktı dosyası.....	40
5.6. 2.Uygulama için Yöntem2.m programının çıktı dosyası.....	40



## SİMGELER DİZİNİ

- $D$  : Doğal sayılar kümesi
- $D^+$  : Sayma sayılar kümesi
- $|A|$  : A kümesinin eleman sayısı
- $B^T$  : B matrisinin transpozu
- $m_0$  : Başlangıç işaretleme vektörü
- $\tilde{P}$  : Petri ağında sınırsız yerler kümesi
- $R'$  : Başlangıç işaretleme vektörüne yalnızca bir geçiş ateşlemesiyle ulaşabilen işaretleme vektörleri kümesi
- $w$  : Kapsayabilirlik ağacında sınırsız sayıda işaretleme vektörü oluşumunu engellemek için bazı yerlerin belirti sayısının ifadesinde kullanılan sembol
- $\varphi_1$  :  $G$  ile gösterilen bir Petri ağının kapsayabilirlik ağacında bulunan ve  $w$  bulundurmayan işaretleme vektörleri kümesi
- $\varphi_2$  :  $G$  ile gösterilen bir Petri ağının kapsayabilirlik ağacında bulunan ve  $w$  bulunduran işaretleme vektörleri kümesi
- $\varphi$  :  $G$  ile gösterilen bir Petri ağının kapsayabilirlik ağacında bulunan tüm işaretleme vektörlerinin oluşturduğu küme
- $\mathcal{O}$  : sıfır vektörü
- $E(G, M)$  :  $G$  ile gösterilen bir Petri ağında,  $M$  işaretleme vektöründen ateşlenebilen geçişlerin oluşturduğu küme
- $R(G, M)$  :  $G$  ile gösterilen bir Petri ağında,  $M$  işaretleme vektöründen sonra ulaşılacak işaretleme vektörlerinin oluşturduğu küme

## 1. GİRİŞ

Teknoloji ilerledikçe sanayide kullanılan sistemler büyümüş, gelişmiş ve karmaşıklaşmıştır. Dolayısıyla, sistemlerin en uygun biçimde modellenmesi ve kontrolü gün geçtikçe önemini arttırmaktadır.

Günümüzde büyük ölçekli endüstriyel üretim süreçlerinin çeşitli amaçlar doğrultusunda izlenmesi ve denetimine ilişkin tasarımlar ve gerçeklemlerde kesikli olay sistemler kullanılmaya başlanmıştır [1]. Sözkonusu sistemler olay etkileşimli (event-driven) olarak da adlandırılırlar. Birçok sistemi (otomatik üretim sistemleri, haberleşme ağları, ofis bilgi sistemleri vb.) kapsamına alan kesikli olay sistemlerindeki olayların meydana gelişi, diğer olay ya da olaylara bağlı olduğundan modellemede çok fazla değişken kullanmak gerekmektedir. Bundan dolayı, kesikli olay sistemlerin modellenmesinde kullanılmak üzere Markov zincirleri, minimum-maksimum cebir modelleri, Petri ağları gibi çeşitli modelleme yöntemleri geliştirilmiştir [2].

Petri ağı ile eş zamanlı olmayan paralel olaylar arasındaki ilişki ve olayların birbirine olan etkileşimleri ortaya konularak, karmaşık sistemlerin analizine olanak sağlanmıştır. Petri ağları en çok, bazı olayların birbirinden bağımsız olarak meydana gelebildiği sistemlerin (haberleşme protokolleri, endüstriyel kontrol sistemleri vb.) modellenmesinde kullanılmaktadır [3].

Petri ağı ilk kez Carl Adam Petri tarafından ortaya konmuştur [1]. O zamandan beri eş zamanlı olmayan birbirinden bağımsız (concurrent) sistemlerin analizi ve modellenmesi için kullanılan ağ teorileri üzerindeki çalışmalar devam etmektedir. Petri ağı modellemesinin zamanlanmış Petri ağı, renklendirilmiş Petri ağı gibi birçok çeşidi geliştirilmiştir [4]. Bu çalışmada temel Petri ağı modellemesi ele alınmıştır.

Petri ağı ile modellenmiş bir sistemin birçok özelliğinin (tersine dönüşebilirlik, sınırlılık vb.) analizi için kullanılan kapsayabilirlik (coverability) ağacı ve ulaşılabilirlik (reachability) ağacı gibi araçlar ve bu araçlar arasındaki ilişki ilk kez Karp ve Miller [5] tarafından ortaya konmuştur. Petri ağının

bağlantı yapısına bağlı özelliklerinin analizi için kullanılan çakışım matrisi (incidence matrix) ile T değişmezleri (T invariants) ve P değişmezleri (P invariants) Sifakis [6] tarafından sunulmuştur. [7] ve [8]'de yapılan çalışmalarda da bu değişmezlerin bulunmasını sağlayan algoritmalar geliştirilmiştir.

Petri ağlarının özelliklerinin analizi için, Ye ve ark. [9] tarafından yapılan çalışmada, ulaşılabilirlik ağacı ile Petri ağının korunumluluk, sınırlılık, güvenirlik analizleri yapılmıştır.

Aybar, İftar ve Apaydın [10] tarafından, sınırsız Petri ağları için sınırlılığı, tersine dönüşebilirliği ve canlılığı garanti eden merkezi ve dışmerkezli kontrol yaklaşımları sunulmuştur. İlgili çalışmada, sınırlılık özelliği için uygun bir sınır vektörü kullanılmıştır.

Bir Petri ağında  $m_0$ 'dan ulaşılabilen tüm durumlar yeniden  $m_0$ 'a ulaşabiliyorlar ise Petri ağı tersine dönüşebilir. Eğer Petri ağında  $m_0$ 'dan ulaşılabilen  $m_0$ 'dan farklı en az bir durum, yeniden  $m_0$ 'a ulaşabiliyorsa Petri ağı kısmi tersine dönüşebilir. Bir Petri ağı kısmi tersine dönüşebilir ise, bu ağı ulaşılabilirlik kümesinin kısmi tersine dönüşebilir bir alt kümesi vardır ve bu küme ağı ulaşılabilirlik kümesinin tersine dönüşebilir bir alt kümesini içerir. [11]'de yapılan çalışmada geliştirilen algoritmalar ile daha önceden belirlenmiş bir sınır vektörü kullanılarak, sınırsız bir Petri ağının ulaşılabilirlik kümesinin sınırlı sayıda elemandan oluşan bir alt kümesi elde edilmiş ve bu kümenin kısmi tersine dönüşebilir olması durumunda, tersine dönüşebilir kısmının bulunması sağlanmıştır.

Bu tezde amaç; sınırsız, temel bir Petri ağının ulaşılabilirlik kümesinin tersine dönüşebilir bir alt kümesini oluşturmak için bir sınır vektörü bulmaktır. Bu amaç doğrultusunda iki yöntem geliştirilmiştir. Yöntem 1 ile, Petri ağının kısmi tersine dönüşebilirlik analizi yapılmakta, ağı kısmi tersine dönüşebilir ise ulaşılabilirlik kümesinin tersine dönüşebilir bir alt kümesindeki tüm işaretleme vektörlerini kapsayan bir sınır vektörü önerilmektedir. Yöntem 2 ile de Petri ağının belirli T-değişmezleri kullanılarak başlangıç durumuna dönen yollar (geçişler ve işaretleme vektörlerinden oluşan bir dizi) bulunmakta, bu yollar-

daki işaretleme vektörlerini ve dolayısıyla ağın ulaşılabilirlik kümesinin tersine dönüşebilir bir alt kümesindeki tüm işaretleme vektörlerini kapsayan bir sınır vektörü önerilmektedir. Bu yöntemlerden herhangi biriyle elde edilen bir sınır vektöründen yararlanarak tasarlanan bir kontrolör yardımıyla, Petri ağının tersine dönüşebilirliği garanti edilmektedir. Ayrıca bu tezde, Petri ağının kapsayabilirlik ağacı, T değişmezi ve geliştirilen iki yöntem için Matlab programları oluşturulmuştur.

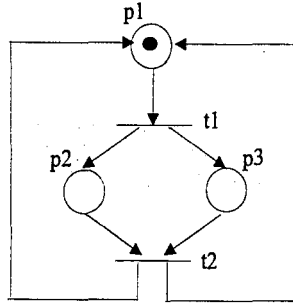
Bu çalışmada, Petri ağı modeli, bu modelin matematiksel ifadesi ve özellikleri Bölüm 2'de, Petri ağı için analiz yöntemleri Bölüm 3'de verilecektir. Bölüm 4'de, geliştirilen iki yöntem ve oluşturulan algoritmalar anlatılacaktır. Geliştirilen yöntemler için oluşturulan Matlab programlarının farklı Petri ağları üzerinde uygulanması ile elde edilen sonuçlar Bölüm 5'de verilecektir.

## 2. PETRİ AĞLARI

Bu bölümde, [1. 4. 12]'deki çalışmalar temel alınarak Petri ağının tanımı, çalışması ve özellikleri verilecektir.

Bir Petri ağı, daire şeklindeki yerler, çubuk şeklindeki geçişler ve bunlar arasındaki bağlantıyı sağlayan yönlendirilmiş oklardan oluşur. Yer, bir işlemi veya bir kaynağın durumunu; geçiş ise, bir olayın ya da bir işlemin başlangıcını ve/veya bitişini göstermektedir<sup>1</sup>.

Örneğin, Şekil 2.1'deki Petri ağı üç yerden ( $p_1, p_2, p_3$ ) ve iki geçişten ( $t_1, t_2$ ) oluşmaktadır.  $p_1$ ,  $t_1$  geçişinin girdisi,  $p_2$  ve  $p_3$ ,  $t_1$  geçişinin çıkışı; benzer şekilde  $t_1$ ,  $p_2$  yerinin girdisi,  $t_2$  aynı yerin çıkışı olarak verilmiştir.



Şekil 2.1: Bir Petri ağı

Bir Petri ağının yapısında yerler ve geçişlere ek olarak bulunduğu yerlerde işlemin yapılıyor olduğunu ifade eden “ . ” şeklinde gösterilen belirtiler vardır. Belirtinin olup olmamasına veya sayısına göre ilgili yerlerin gösterdikleri kaynak hakkında bilgi sahibi olunur. Burada kaynak, sistemde gerçekleştirilmek istenen olaylar için gerekli olan koşulları, çalışan personeli, kullanılan makineleri vb. ifade etmektedir. Örneğin, bir yer kaynağı ifade ediyorsa, bu yerin içinde belirtinin olması kaynağın erişilebilir olduğunu, belirtinin sayısı da erişilebilir kaynak sayısını gösterir. Belirtiller mantıksal durumu ifade

<sup>1</sup>Bu tezde, aynı yer ile aynı geçiş arasında aynı yönlü en fazla bir ok olacağı kabullenmesi yapılmıştır.

etmek için de kullanılır. Bir yerde belirti bulunması şartın sağlandığı bulunmaması ise şartın sağlanmadığı anlamına da gelir.

Bir Petri ağı  $G(P, T, N, O, m_0)$  şeklinde gösterilir. Burada  $T$ , geçişlerin kümesini;  $P$ , yerlerin kümesini göstermektedir ( $P \cap T = \emptyset$ ,  $P \cup T \neq \emptyset$ ).  $N: P \times T \rightarrow \{0, 1\} =: \delta$  girdi matrisidir. Bu matris yerlerden geçişlere doğru olan bağlantıların gösterildiği matristir ve elemanları, bir yerden bir geçişe bir ok ile bağlantı yapılmışsa 1, yapılmamışsa 0 alınarak oluşturulur.  $O: P \times T \rightarrow \delta$  çıktı matrisidir. Bu matris geçişlerden yerlere doğru olan bağlantıların gösterildiği matristir ve elemanları bir geçişten bir yere bir ok ile bağlantı yapılmışsa 1, yapılmamışsa 0 alınarak oluşturulur.  $m_0: P \rightarrow D$  başlangıç işaretleme vektörüdür. Başlangıçta, belirtilerin Petri ağının yerlerindeki dağılımını gösterir. Ayrıca, Petri ağının ifadesinde  $N$  ve  $O$  girdi matrislerinin yerine  $A := O - N$  şeklinde tanımlanan çakışım matrisi (incidence matrix) de kullanılabilir [12].

Örneğin, Şekil 2.1'deki Petri ağı için,  $P = \{p_1, p_2, p_3\}$ ,  $T = \{t_1, t_2\}$ ,  $m_0 = [1 \ 1 \ 0]^T$  ve

$$N = \begin{bmatrix} 1 & 0 \\ 0 & 1 \\ 0 & 1 \end{bmatrix}, \quad O = \begin{bmatrix} 0 & 1 \\ 1 & 0 \\ 1 & 0 \end{bmatrix}, \quad A = \begin{bmatrix} -1 & 1 \\ 1 & -1 \\ 1 & -1 \end{bmatrix}$$

şeklindedir.

Bir Petri ağının çalışması geçişlerin ateşlenmesiyle belirtilerin yer veya yerlerden başka yer veya yerlere taşınması şeklinde olur. Bir Petri ağının yapısında bulunan bir okun bağlantılı olduğu geçişin ateşlenmesi ile taşıyabileceği belirti sayısına bu okun ağırlığı denir. Yapısındaki tüm okların ağırlığı 1 olan Petri ağı temel (ordinary) Petri ağı olarak isimlendirilir [12].

$M$  bir işaretleme vektörünü göstermek üzere, bu işaretleme vektöründen sonra bir  $t \in T$  geçişinin ateşlenebilirlik şartı :

$$M(p) \geq N(p, t), \forall p \in P \quad (2.1)$$

şeklinde. Burada,  $M(p)$ ,  $M$  işaretleme vektörünün  $p$  yerindeki belirti sayısını göstermektedir.

Bir  $M$  işaretleme vektöründen bir  $t$  geçişinin ateşlenmesiyle bir  $M'$  işaretleme vektörü oluşuyorsa bu matematiksel olarak,

$$M' = M + O_t - N_t, \quad t \in T \quad (2.2)$$

şeklinde ifade edilir. Burada,  $N_t$ ,  $N$  matrisinin  $t$  geçişine karşılık gelen sütunu  $O_t$ ,  $O$  matrisinin  $t$  geçişine karşılık gelen sütunudur.

Petri ağında peşpeşe ateşlenen geçişlerin oluşturduğu diziye ateşleme dizisi veya geçiş dizisi denir. Bir  $g$  ateşleme dizisi  $g := t_{i_1}, t_{i_2}, \dots, t_{i_k} : t_{i_1}, t_{i_2}, \dots, t_{i_k} \in T$  şeklinde gösterilir. Bu  $g$  ateşleme dizisindeki bütün geçişlerin sırasıyla ( $t_{i_1}$  geçişinden başlayarak en son  $t_{i_k}$  geçişinin) ateşlenmesiyle herhangi bir  $M$  işaretleme vektöründen bir  $M'$  işaretleme vektörü elde edilebiliyor ise bu  $M' = \rho(M, g)$  ile ifade edilir. Burada kullanılan kısmi fonksiyon,  $\rho(M, g)$ , iletim fonksiyonu olarak adlandırılır.

Ulaşılabilirlik kümesi,  $R(G, m_0)$ ,  $G$  ile gösterilen bir Petri ağında,  $m_0$  işaretleme vektöründen ulaşılan tüm işaretleme vektörlerinin oluşturduğu kümedir. Bu tezin tamamında temel ve  $R(G, m_0)$  kümesinin eleman sayısının en az iki olması şartını sağlayan ( $|R(G, m_0)| \geq 2$ ) Petri ağları ele alınmıştır.

## 2.1 Petri Ağlarının Özellikleri

Bu bölümde Petri ağlarının bazı özelliklerinin tanımları [12, 13]'den yararlanılarak verilecektir.

**Tanım 1.1** [Ulaşılabilirlik (Reachability)]: Eğer ve yalnızca eğer  $\rho(m_0, g) = M_r \in R(G, m_0)$  olacak şekilde bir  $g$  ateşleme dizisi bulunabiliyorsa  $M_r$  işaretleme vektörü  $m_0$ 'dan ulaşılabilir.

**Tanım 1.2** [Sınırlılık (Boundedness)]: Eğer ve yalnızca eğer  $\forall M \in R(G, m_0)$ ,  $M(p) \leq \hat{k}$  olacak şekilde  $\hat{k} \in D$  bulunabiliyorsa  $p$  yeri  $\hat{k}$  ile sınırlıdır. Eğer ve

yalnızca eğer  $M(p) \leq k(p)$ , ( $k = [\hat{k}_1 \ \hat{k}_2 \dots \hat{k}_{|P|}]^T$ ),  $\forall p \in P$ ,  $\forall M \in R(G, m_0)$  ise bu ağı  $k$ -sınırlıdır.

**Tanım 1.3** [Canlılık (Liveness)]: Eğer ve yalnızca eğer  $\forall M \in R(G, m_0)$  işaretlemesinden sonra  $t$  ( $\forall t \in T$ ) geçişine izin verecek şekilde bir  $g$  ateşleme dizisi varsa Petri ağı canlıdır.

**Tanım 1.4** [Tersine Dönüştürülebilirlik (Reversibility)]: Eğer ve yalnızca eğer  $\forall M \in R(G, m_0)$ ,  $m_0 \in R(G, M)$  şartı sağlanıyorsa bu Petri ağı tersine dönüştürülebilir.

**Tanım 1.5** [Kısmi Tersine Dönüştürülebilirlik (Partial Reversibility)]: Eğer ve yalnızca eğer en az bir  $M \in R(G, m_0)$  ve  $m_0 \neq M$  için  $m_0 \in R(G, M)$  şartı sağlanıyorsa bu Petri ağı kısmi tersine dönüştürülebilir.

**Tanım 1.6** [Kapsayabilirlik (Coverability)]: Eğer ve yalnızca eğer  $M, \tilde{M} \in R(G, m_0)$  olmak üzere  $\tilde{M}(p) \geq M(p)$ ,  $\forall p \in P$  ise  $\tilde{M}$  işaretleme vektörü  $M$  işaretleme vektörünü kapsar.

**Tanım 1.7** [Baskınlık (Dominance)]: Eğer ve yalnızca eğer  $M, \tilde{M} \in R(G, m_0)$  olmak üzere  $\tilde{M}(p) \geq M(p)$ ,  $\forall p \in P$ ,  $\tilde{M} \neq M$  ise  $\tilde{M}$  işaretleme vektörü  $M$  işaretleme vektörüne baskındır ve bu  $\tilde{M} >_d M$  ile gösterilir.

**Tanım 1.8** [Çıkmaz işaretleme vektörü (Deadlock marking vector)]: Eğer ve yalnızca eğer, bir Petri ağında herhangi bir  $M \in R(G, m_0)$  işaretlemesinden sonra hiçbir  $t \in T$  geçişi ateşlenemiyorsa,  $M$  çıkmaz işaretleme vektörü olarak adlandırılır. Bu durumda Petri ağında sistem çıkmazı (deadlock) meydana gelmiş olur.

**Tanım 1.9** [Cansız geçiş (Dead transition)]: Petri ağının yapısında görülen, ancak ağın çalışması esnasında hiçbir şekilde ateşlenmeyen geçişe cansız geçiş denir.

Yukarıda tanımları verilen özellikler, takip eden bölümlerde kullanılacaktır.



### 3. PETRİ AĞLARI İÇİN ANALİZ YÖNTEMLERİ

Petri ağı ile modellenmiş bir sistemin Bölüm 2'de verilen özelliklerinin analiz edilmesi için birçok yöntem geliştirilmiştir [4]. Bu bölümde kapsayabilirlik ağacı yöntemi ve ağ yapısındaki geçiş ve yerlerin birbirine bağlantısına göre oluşturulan çakışım matrisi yöntemi üzerinde durulacaktır.

#### 3.1 Kapsayabilirlik Ağacı

Kapsayabilirlik ağacı, Petri ağının ulaşılabilirlik kümesinin grafiksel olarak gösterimidir. İlk olarak başlangıç işaretleme vektörü ağacın en üstüne yerleştirilir, daha sonra bundan ulaşılacak tüm işaretleme vektörleri, ateşlenebilecek tüm geçişlerin ateşlenmesiyle elde edilerek sırayla bu yapıya eklenir.

Kapsayabilirlik ağacının oluşturulması için [12]'de sunulan algoritma aşağıda verilmiştir. Bu algorithmada *çikmaz*, *çikmaz* işaretleme vektörlerine, *eski* daha önce elde edilmiş işaretleme vektörlerine verilen etikettir.

$$[\varphi] = \text{Algoritma-1}[G]$$

1.  $m_0$ , ağacın en üst noktasına yerleştirilir.
2. Ağaç yapısındaki *eski* veya *çikmaz* etiketli olmayan işaretleme vektörleri sırayla seçilerek herbiri için şu işlemler yapılır: (seçilen işaretleme vektörü  $M$  olarak gösterilsin)
  - 2.1. Eğer  $M$  işaretleme vektöründen hiçbir geçiş ateşlenemiyorsa *çikmaz* olarak etiketlenir, 2. adıma dönülür.
  - 2.2. Eğer  $M$ , ağaç yapısındaki herhangi bir işaretleme vektörüne eşitse *eski* olarak etiketlenir, 2. adıma dönülür.
  - 2.3. Diğer durumlarda  $M$  işaretleme vektöründen ateşlenebilen tüm geçişler sırayla seçilip, herbiri için aşağıdaki işlemler yapıldıktan sonra

2. adıma dönülür.

a-) Geçiş ateşlenerek yeni bir işaretleme vektörü elde edilir (bu işaretleme vektörü  $M'$  olsun).

b-)  $m_0$ 'dan  $M'$  işaretleme vektörüne kadar olan yolda (geçişler ve yerlerden oluşan bir dizi)  $M' >_d M''$ . ifadesini sağlayacak bir  $M''$  işaretleme vektörü varsa  $M'(p) > M''(p)$  olan her yerde  $M'(p)$ ,  $w$  olarak değiştirilir.  $M'$  ateşlenen geçişle birlikte ağaca yerleştirilir.

3. Kapsayabilirlik ağacında bulunan tüm işaretleme vektörleri ile  $\varphi$ . kapsayabilirlik ağacında bulunan ve hiçbir yerinde  $w$  bulundurmayan işaretleme vektörleri ile  $\varphi_1$ , kapsayabilirlik ağacında bulunan ve herhangi bir yerinde  $w$  bulunduran işaretleme vektörleri ile  $\varphi_2$  kümeleri oluşturulur ( $\varphi_2 \cup \varphi_1 = \varphi$ ,  $\varphi_2 \cap \varphi_1 = \emptyset$ ).

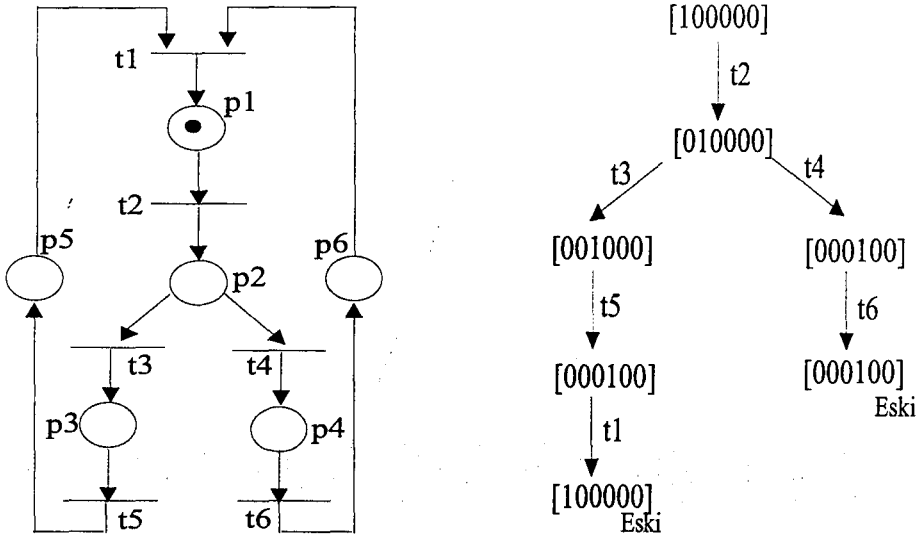
Kapsayabilirlik ağacı oluşturulurken, sınırsız sayıda işaretleme vektörünün meydana gelmesini engellemek için sınırsız yerlerdeki belirti sayısının ifadesinde  $w$  sembolü kullanılmaktadır.

Şekil 3.1'de sınırlı bir Petri ağı ve bu ağ için yukarıdaki yöntem kullanılarak oluşturulan kapsayabilirlik ağacı, Şekil 3.2'de ise sınırsız bir Petri ağı ve bu ağ için yine yukarıdaki yöntem kullanılarak oluşturulan kapsayabilirlik ağacı görülmektedir.

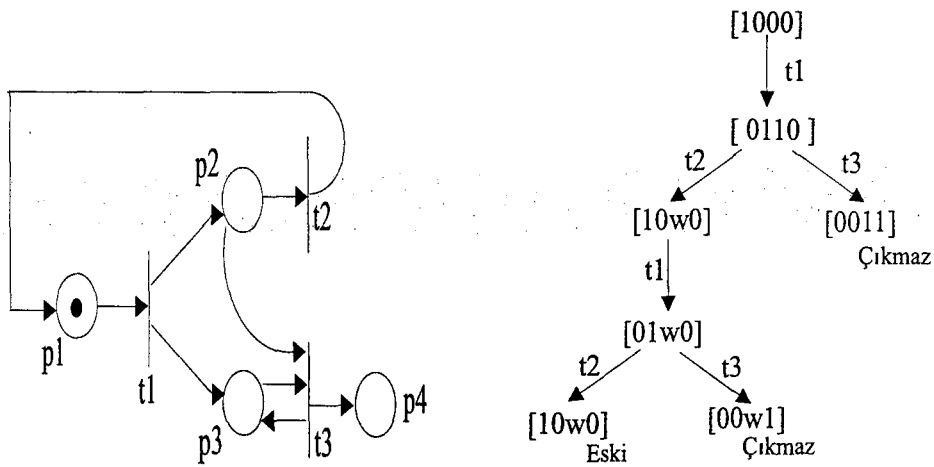
Yapısında.  $w$  içeren işaretleme vektörleri bulunan bir kapsayabilirlik ağacına sahip bir Petri ağının ulaşılabilirlik kümesinin tamamını, kapsayabilirlik ağacında görmek mümkün değildir. Ancak, hiçbir yerinde  $w$  bulundurmayan işaretleme vektörlerinden oluşan bir kapsayabilirlik ağacı, ait olduğu Petri ağının ulaşılabilirlik kümesini ifade eder. Bu durumda Şekil 3.1'deki Petri ağı için  $\varphi = \varphi_1 = R(G, m_0) = \{[1\ 0\ 0\ 0\ 0\ 0]^T, [0\ 1\ 0\ 0\ 0\ 0]^T, [0\ 0\ 1\ 0\ 0\ 0]^T, [0\ 0\ 0\ 1\ 0\ 0]^T, [0\ 0\ 0\ 0\ 1\ 0]^T\}$ ,  $\varphi_2 = \emptyset$  şeklindedir.

Şekil 3.2.a'daki Petri ağı için oluşturulan kapsayabilirlik ağacından faydalanılarak (bkz. Şekil 3.2.b). bu Petri ağı için  $\varphi = \{[1\ 0\ 0\ 0]^T, [0\ 1\ 1\ 0]^T$ .

$[1\ 0\ w\ 0]^T$ ,  $[0\ 0\ 1\ 1]^T$ ,  $[0\ 1\ w\ 0]^T$ ,  $[1\ 0\ w\ 0]^T$ ,  $[0\ 0\ w\ 1]^T$ .  $\varphi_1 = \{[1\ 0\ 0\ 0]^T, [0\ 1\ 1\ 0]^T, [0\ 0\ 1\ 1]^T\}$ ,  $\varphi_2 = \{[1\ 0\ w\ 0]^T, [0\ 1\ w\ 0]^T, [1\ 0\ w\ 0]^T, [0\ 0\ w\ 1]^T\}$  şeklinde belirlenir.  $[0\ 0\ 1\ 1]^T$  ve  $[0\ 0\ w\ 1]^T$  işaretleme vektörlerinden hiçbir geçiş ateşlenemez. Dolayısıyla bunlar bu ağdaki çıkmaz işaretleme vektörleridir. Bu ağ için.  $T = \{t_1, t_2, t_3\}$  (ağın modellenmesinde görülen geçişler) olup kapsayabilirlik ağacı oluşurken hepsi ateşlenmektedir. Petri ağında cansız geçiş yoktur.



Şekil 3.1: (a) Petri ağı-1 ve (b) Petri ağı-1 için kapsayabilirlik ağacı



Şekil 3.2: (a) Petri ağı-2 ve (b) Petri ağı-2 için kapsayabilirlik ağacı

Kapsayabilirlik ağacını meydana getirmek için verilen yöntem kullanılarak MATLAB'da oluşturulan Cover.m adlı program Ek-A'da bulunmaktadır.

Cover.m programının Şekil 3.2.a'daki Petri ağı için oluşan çıktı dosyasında (bkz. Şekil 3.3) Bmat, Resmat, Txmat ve Oldmat başlıkları altındaki bilgiler kapsayabilirlik ağacının yapısını ifade eder. Bmat başlığının altındaki ilk satırda  $m_0$  bulunur.  $m_0$ 'dan Txmat başlığı altındaki ilk geçiş ateşlenerek Resmat'ın altındaki ilk satırda bulunan işaretleme vektörü oluşur. Bu vektör daha önce oluştuysa, kapsayabilirlik ağacındaki *eski* etiketli bir işaretleme vektörünü ifade eder ve Oldmat'ın altındaki ilk satırda 1, oluşmadıysa Oldmat'ın altındaki ilk satırda 0 bulunur.  $m_0$ 'dan başka bir geçiş daha ateşlenebiliyorsa;  $m_0$ , Bmat'ın ikinci satırına da yerleştirilir. Resmat, Txmat ve Oldmat'ın ikinci satırları da birinci satırda olduğu gibi oluşturulur.  $m_0$ 'dan ateşlenebilen tüm geçişler için aynı işlemler yapılır. Daha sonra yeni oluşan ve kapsayabilirlik ağacındaki *eski* etiketli bir işaretleme vektörünü ifade etmeyen işaretleme vektörleri sırasıyla Bmat'a yerleştirilir ve  $m_0$  için yapılan işlemler bu vektörler için de yapılır. Kendisinden ateşleme yapılabilecek bir işaretleme vektörü (kapsayabilirlik ağacındaki *eski* veya *çıkamaz* etiketli bir işaretleme vektörünü ifade etmeyen bir işaretleme vektörü) kalmayana kadar bu işlemlere devam edilir.

Örneğin, Şekil 3.2'deki Petri ağının kapsayabilirlik ağacı için, Şekil 3.3'de  $[1\ 0\ 0\ 0]^T$ 'dan  $t_1$  ateşlenerek  $[0\ 1\ 1\ 0]^T$  meydana gelmekte, bu işaretleme vektörü daha önce oluşmadığı için Oldmat'ın bu satırında 0 bulunmaktadır.  $[1\ 0\ 0\ 0]^T$ 'dan başka geçiş ateşlenememektedir.  $[0\ 1\ 1\ 0]^T$  daha önce oluşmadığından, Bmat'a yerleştirilmekte, bu vektörden ikinci satırda  $t_2$  nin ateşlenmesiyle  $[1\ 0\ w\ 0]^T$ , üçüncü satırda,  $t_3$  ün ateşlenmesiyle  $[0\ 0\ 1\ 1]^T$  oluşmaktadır.  $[1\ 0\ w\ 0]^T$  Bmat'a yerleştirilerek aynı işlemler bu vektör için de tekrarlanmaktadır.  $[0\ 0\ 1\ 1]^T$  çıkamaz işaretleme vektörü olduğundan Bmat'da bulunmayacaktır. Bu işlemler kendisinden ateşleme yapılabilecek bir işaretleme vektörü kalmayana kadar devam etmekte ve kapsayabilirlik ağacı

inşaası tamamlanmaktadır.

Bmat	Resmat	Txmat	Oldmat
1000	0110	1	0
0110	10w0	2	0
0110	0011	3	0
10w0	01w0	1	0
01w0	10w0	2	1
01w0	00w1	3	0
ÇIKMAZ VEKTÖR			
0011			
00w1			
CANSIZ GEÇİŞ			
YOK			

Şekil 3.3: Şekil 3.2'deki Petri ağı için Cover.m programının çıktı dosyası

### 3.2 Kapsayabilirlik Ağacı ile Petri Ağı Analizi

$G$  ile ifade edilen bir Petri ağının kapsayabilirlik ağacı kullanılarak, bu ağın birçok özelliği hakkında bilgi edinilmektedir (bkz. [12, 13, 4]). Bunlardan bazıları bu bölümde özetlenecektir.

Eğer ve yalnızca eğer bir Petri ağının kapsayabilirlik ağacındaki hiçbir işaretleme vektöründe  $w$  görünmüyorsa bu Petri ağı sınırlıdır. Bu durumda  $\varphi = R(G, m_0)$  şeklinde elde edilmektedir. Kapsayabilirlik ağacındaki herhangi bir işaretleme vektöründe  $w$  bulunması bu ağın sınırsız olduğunu, ve bu sembolün bulunduğu yerin de sınırsız bir yer olduğunu gösterir. Kapsayabilirlik ağacındaki işaretleme vektörlerinin hiçbirinde  $w$  içermeyen yerler, sınırlı yerlerdir.

Eğer bir Petri ağının kapsayabilirlik ağacında bulunan herbir işaretleme vektöründen  $m_0$ 'a dönen bir yol (geçişlerden ve işaretleme vektörlerinden oluşan bir dizi) bulunabiliyorsa bu ağ tersine dönüşebilir. Eğer bir Petri ağının kapsayabilirlik ağacında,  $m_0$ 'dan farklı en az bir işaretleme vektöründen

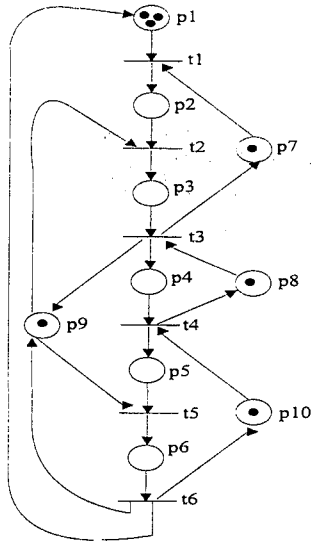
$m_0$ 'a dönen bir yol bulunabiliyorsa bu Petri ağı kısmi tersine dönüşebilir ve ağın ulaşılabilirlik kümesinin tersine dönüşebilir özellikte bir alt kümesi vardır. Sınırsız bir ağ için tersine dönüşebilirlik özelliğini, sınırsız yerlerde  $w$  gösterimini nedeniyle, kapsayabilirlik ağacından takip etmek mümkün değildir. Sınırsız bir Petri ağının ilgili özelliğinin analizi için kapsayabilirlik ağacı kullanılarak oluşturulan yöntemden Bölüm 4'de bahsedilecektir.

Sınırsız Petri ağlarının kapsayabilirlik ağacında  $w$  sembolü bulunduğu ve bu sembol özellikle yerlerde bulunan belirti sayısı ile ilgili bilgi kaybına sebep olduğundan, buna ek olarak ulaşılabilirlik kümesi sonsuz sayıda işaretleme vektörü içerdiğinden, canlılık ve ulaşılabilirlik özellikleri kapsayabilirlik ağacı ile kolayca analiz edilemez. Buna rağmen şu yaklaşımlar yapılmaktadır:

- Kapsayabilirlik ağacında *çıkamaz* olarak isimlendirilmiş en az bir işaretleme vektörü bulunan ağ canlı değildir [14].
- Kapsayabilirlik ağacının herhangi bir işaretleme vektörü tarafından kapsanmayan bir işaretleme vektörü (bkz. Tanım 1.6)  $m_0$ 'dan ulaşılabilir değildir [13].

### **Örnek 3.1**

Şekil 3.4'deki Petri ağı için oluşturulan kapsayabilirlik ağacı, Şekil 3.5'deki gibidir. Bu kapsayabilirlik ağacında hiçbir işaretleme vektöründe  $w$  bulunmadığı için bu Petri ağı sınırlıdır. Kapsayabilirlik ağacındaki işaretleme vektörlerinde, yerlerde bulunan en büyük belirti sayısından yararlanılarak bu Petri ağı için sınır vektörü  $[3 \ 1 \ 1 \ 1 \ 1 \ 1 \ 1 \ 1 \ 1]^T$  şeklinde belirlenir. Çıkamaz işaretleme vektörünün  $([0 \ 0 \ 1 \ 1 \ 1 \ 0 \ 0 \ 0 \ 0]^T)$  varlığından dolayı, bu Petri ağı tersine dönüşebilir veya canlı değildir.



Şekil 3.4: Örnek 3.1 için bir Petri ağı

Bmat	Resmat	Txmat	Oldmat
3000001111	2100000111	1	0
2100000111	2010000101	2	0
2010000101	2001001011	3	0
2001001011	1101000011	1	0
2001001011	2000101110	4	0
1101000011	1011000001	2	0
1101000011	1100100110	4	0
2000101110	1100100110	1	1
2000101110	2000011100	5	0
1011000001	1010100100	4	0
1100100110	1010100100	2	1
1100100110	1100010100	5	0
2000011100	1100010100	1	1
2000011100	3000001111	6	1
1010100100	1001101010	3	0
1100010100	2100000111	6	1
1001101010	0101100010	1	0
1001101010	1001011000	5	0
0101100010	0011100000	2	0
0101100010	0101010000	5	0
1001011000	0101010000	1	1
1001011000	2001001011	6	1
0101010000	1101000011	6	1
ÇIKMAZ VEKTÖR 0011100000			
CANSIZ GEÇİŞ YOK			

Şekil 3.5: Örnek 3.1 için Cover.m programının çıktısı

### 3.3 Çakışım Matrisi

Bu bölümde Petri ağı analizinde kullanılan, doğrusal matris cebirine dayalı çakışım matrisi yöntemi üzerinde durulacaktır. Bu analizin kapsayabilirlik ağacı yöntemine göre en büyük avantajı ağı analiz için basit doğrusal cebir denklemlerinin kullanılmasının yeterli olabilmesidir [12].

Bir  $M$  işaretleme vektöründen bir  $g$  geçiş dizisinin ateşlenmesiyle bir  $M'$  işaretleme vektörünün elde edilmesi,

$$M' = M + AU \quad (3.1)$$

ile ifade edilir. Burada  $U := T \rightarrow D$ ,  $g$  ateşleme dizisini meydana getiren geçişlerin bu dizi içinde kaç kez kullanıldığını gösteren vektördür [1] ve  $g$  geçiş dizisinin ateşleme sayısı vektörü olarak isimlendirilir. Örneğin, Şekil 3.2'deki Petri ağı için ( $T = \{t_1, t_2, t_3\}$ )  $g = t_1 t_2$  şeklinde tanımlanan bir geçiş dizisinin ateşleme sayısı vektörü,  $U = [1 \ 1 \ 0]^T$  olarak belirlenir.

#### 3.3.1 T Değişmezi

T değişmezi, çakışım matrisi kullanılarak elde edilen, Petri ağının  $m_0$ 'a bağlı olmayan, sadece bağlantı yapısıyla ilgili özelliklerinin (yapısal özellikler [13]) analizinde kullanılan bir vektördür.

**Tanım 3.1:**  $W$  negatif elemanı bulunmayan  $|T| \times 1$  boyutunda,  $W(i) \in D$ ,  $\forall i \in \{1, 2, \dots, |T|\}$  olan ve

$$AW = \mathcal{O} \quad (3.2)$$

şartlarını sağlayan bir vektörse, bu vektör Petri ağının T-Değişmezidir [13].

Eşitlik 3.1'de ateşleme sayısı vektörü yerine  $W$  koyulduğunda,

$$M' = M + AW \quad (3.3)$$



eşitliğin sağındaki ikinci eleman  $\mathcal{O}$  olacağından  $M' = M$  elde edilecektir. Bu durumda,  $W \neq \mathcal{O}$  şeklindeki bir T-Değişmeze karşılık gelen geçiş dizileri ateşlenebilmeleri durumunda, sistemi ateşlemenin başladığı duruma geri döndürecektir.

Örneğin, T-değişmezi  $[0 \ 1 \ 1 \ 1]^T$  ise bu değişmeze karşılık gelen  $g$  geçiş dizileri  $t_2, t_3$  ve  $t_4$  geçişlerini birer kez kullanan dizilerdir ( $t_2t_3t_4, t_3t_2t_4, t_4t_2t_3, \dots$  vb.). Bu dizilerden herhangi biri, örneğin  $g = t_4t_3t_2$ , bir  $M$  işaretleme vektöründen ateşlenebiliyorsa,  $\rho(M, g) = M$  şeklinde olacaktır.

Eğer  $\text{rank}(A)=|T|$  ise, bu Petri ağının  $W = \mathcal{O}$ 'dan farklı bir T-değişmezi yoktur ( $\text{rank}(A)$ ,  $A$  matrisinin rankını göstermektedir) ([12]).

### 3.3.2 T-Değişmezinin Bulunması

$AW = \mathcal{O}$  denkleminin bilinen doğrusal matris cebiri metodlarıyla çözümü oldukça kolay bulunabilmektedir [15]. Ancak T-değişmezi bulunurken aranan şartlar ( $W(i) \in D, \forall i \in \{1, 2, \dots, |T|\}$ ) bu çözümü karmaşık bir hale sokmaktadır. [12]'de bir Petri ağının T-değişmezlerinin bulunması için önerilen Mark&Silva Algoritması ile Petri ağının minimum T-değişmezleri<sup>2</sup> bulunur.

$T = \text{Algoritma-2}[G]$

1.  $A' = [I: A^T]$  şeklinde oluşturulur.
2.  $j = |T| + 1$
3.  $j$ . sütundaki elemanlardan  $\mathcal{O}$ 'dan farklı olup toplamları  $\mathcal{O}$ 'ı veren çiftler bulunur.
4. Bu elemanların buldukları satırlar toplanır.
5. Her bir satır çiftinin toplamları  $A'$  matrisinin altına eklenir.

---

<sup>2</sup>Bir Petri ağının sonsuz tane T-değişmezi olabilir. Minimum T-değişmezleri ise, elemanları yine doğal sayı olan, ağın diğer T-değişmezlerinin doğal katsayılar ile doğrusal kombinasyonu olarak yazılamayan T- değişmezleridir.

6. Toplam için kullanılan tüm satırlar  $A'$  matrisinden silinir.
7. Eğer  $j = |P| + |T|$  ise, 8. adıma geçilir; aksi durumda  $j = j + 1$  yapılarak 3'e dönülür.
8.  $A'$  matrisinde  $|P| + 1$ . sütundan itibaren 0 olan satırların ilk  $n$  elemanı T-değişmezinin transpozunu verir.

Yukarıdaki algoritma için geliştirilen Tinv.m adlı MATLAB programı Ek-B'de verilmiştir.

Örneğin, aşağıdaki gibi bir çakışım matrisine sahip bir Petri ağı için,  $\text{rank}(A) \neq 3$  olduğundan, ağın  $\mathcal{O}$  dan farklı T-değişmezi bulunmaktadır (bkz. Bölüm 3.3.1).

$$A = \begin{bmatrix} -1 & 1 & 1 \\ 1 & -1 & -1 \\ 1 & -1 & 0 \end{bmatrix}$$

Bu Petri ağı için Tinv.m programının basamak basamak çalışması aşağıdaki gibidir;

$$A^T = \begin{bmatrix} -1 & 1 & 1 \\ 1 & -1 & -1 \\ 1 & -1 & 0 \end{bmatrix} \quad A' = \begin{bmatrix} 1 & 0 & 0 & -1 & 1 & 1 \\ 0 & 1 & 0 & 1 & -1 & -1 \\ 0 & 0 & 1 & 1 & -1 & 0 \end{bmatrix}$$

#### 4. sütunun sıfırlanması

$$\begin{array}{l} 1 \\ 2 \\ 3 \\ 1+2 \\ 1+3 \end{array} \quad \begin{bmatrix} 1 & 0 & 0 & -1 & 1 & 1 \\ 0 & 1 & 0 & 1 & -1 & -1 \\ 0 & 0 & 1 & 1 & -1 & 0 \\ 1 & 1 & 0 & 0 & 0 & 0 \\ 1 & 0 & 1 & 0 & 0 & 1 \end{bmatrix}$$

1., 2. ve 3. satırlar toplam için kullanıldığından silinmelidir.

$$A' = \begin{bmatrix} 1 & 1 & 0 & 0 & 0 & 0 \\ 1 & 0 & 1 & 0 & 0 & 1 \end{bmatrix}$$

#### 5. sütunun sıfırlanması

Bu sütun bir önceki adımda yapılan işlemlerle kendiliğinden sıfırlandı.

#### 6. sütunun sıfırlanması

Bu sütunun sıfırlanması mümkün değil.

Bu durumda Petri ağının minimum T-Değişmezi  $[1 \ 1 \ 0]^T$  şeklinde bulunmaktadır. yani bir  $M$  işaretleme vektöründen  $t_1$  ve  $t_2$  geçişlerinin birer kez kullanıldığı bir geçiş dizisinin ( $g = t_1 t_2$  veya  $g = t_2 t_1$ ) ateşlenebilmesi durumunda yine  $M$  işaretleme vektörüne dönülür.

### 3.4 Çakışım Matrisi ile Petri Ağı Analizi

$G$  ile ifade edilen bir Petri ağı için çakışım matrisi ve  $T$  değişmezi bulunduğu anda ağın birçok özelliği hakkında bilgi edinilmektedir. [12, 13, 4]’den faydalanılarak, bunlardan bazıları, bu bölümde özetlenecektir.

Bir Petri ağı için  $AW = \mathcal{O}$  denkleminin tek çözümü  $W = \mathcal{O}$  ise bu ağ tersine dönüşebilir değildir.

Bir Petri ağı için  $AW = \mathcal{O}$  denkleminin  $W = \mathcal{O}$  dan farklı en az bir çözümü varsa bu ağ en az bir başlangıç durumu için kısmi tersine dönüşebilirdir [13] ve ağın ulaşılabilirlik kümesinin tersine dönüşebilir bir alt kümesi vardır.

Bir Petri ağında  $T$  değişmezi analizi yapılarak, ağın özellikleri hakkında edinilen bilgilere aşağıdakiler de eklenebilir.

**Lemma 3.1:** Bir Petri ağı için  $AW = \mathcal{O}$  denkleminin tek çözümü  $W = \mathcal{O}$  ise bu ağ kısmi tersine dönüşebilir değildir.

**İspat:** Eğer bir Petri ağının tüm T-Değişmezlerinde aynı geçişe karşılık gelen

elemen 0 ise, bu geçiş ateşlendiğinde hiçbir şekilde başlangıç durumuna dönmek mümkün değildir [4]. Buna göre bir Petri ağının yalnız bir T-Değişmezi varsa ve bu da  $\mathcal{O}$ 'a eşitse hiçbir geçişin ateşlenmesi ile başlangıç durumuna dönmek mümkün değildir.

**Lemma 3.2:** Eğer bir Petri ağında,  $g = t_{i_1}t_{i_2}\dots t_{i_n}$ , ( $t_{i_1}, t_{i_2}, \dots, t_{i_n} \in T$ ) geçiş dizisi ağın  $\mathcal{O}$ 'dan farklı bir T-değişmeze karşılık gelen bir geçiş dizisi ve  $g_1 = t_{i_1}t_{i_2}\dots t_{i_k}$ , ( $n > k$ ) ( $g_1$ ,  $g$  geçiş dizisinin bir bölümü) şeklinde tanımlanmak üzere  $\rho(m_0, g) = m_0$  ve  $\rho(m_0, g_1) = M \neq m_0$  ateşlemeleri mümkünse bu Petri ağı kısmi tersine dönüşebilir.

**İspat:** T-değişmenin tanımına göre, Petri ağının bir T-değişmeze karşılık gelen herhangi bir geçiş dizisinin bir işaretleme vektöründen ateşlenebilmesi durumunda, yeniden aynı işaretleme vektörüne dönülecektir. Öyleyse bu özellikteki bir geçiş dizisi  $m_0$ 'dan ateşlenebiliyorsa  $m_0$ 'a geri dönülecektir. Bu ateşlemelerin herhangi bir yerinde  $m_0$ 'dan farklı en az bir işaretleme vektörü oluşuyorsa,  $m_0$ 'dan farklı en az bir işaretleme vektörü de  $m_0$ 'a dönebildiğinden Petri ağı kısmi tersine dönüşebilir.

### Örnek 3.2:

Şekil 3.4'deki Petri ağının T-değişmezi  $[1\ 1\ 1\ 1\ 1\ 1\ 1]^T$  şeklinde bulunur (bkz. Bölüm 3.3.2). Bu ağ sınırlıdır. Bu Petri ağı için T-değişmezi  $\mathcal{O}$ 'dan farklı olduğundan, ağ en az bir başlangıç vektörü için kısmi tersine dönüşebilir. Ağın T-değişmezi  $[1\ 1\ 1\ 1\ 1\ 1\ 1]^T$  olduğundan " $t_1, t_2, t_3, t_4, t_5, t_6$ " geçişlerinin herbirinin birer kez kullanıldığı bir geçiş dizisi bir işaretleme vektöründen ateşlenebildiğinde, ateşlemenin başladığı vektöre geri dönülür. Ağ için oluşturulan kapsayabilirlik ağacında böyle bir geçiş dizisinin  $m_0$ 'dan ateşlenebildiği görülmektedir. Şekil 3.5'e göre  $\rho(m_0, t_1) = [2\ 1\ 0\ 0\ 0\ 0\ 1\ 1\ 1]^T = M_1$ ,  $\rho(M_1, t_2) = [2\ 0\ 1\ 0\ 0\ 0\ 0\ 1\ 0\ 1]^T = M_2$ ,  $\rho(M_2, t_3) = [2\ 0\ 0\ 1\ 0\ 0\ 1\ 0\ 1\ 1]^T = M_3$ ,  $\rho(M_3, t_4) = [2\ 0\ 0\ 0\ 1\ 0\ 1\ 1\ 1\ 0]^T = M_4$ ,  $\rho(M_4, t_5) = [2\ 0\ 0\ 0\ 0\ 1\ 1\ 1\ 0\ 0]^T = M_5$ ,  $\rho(M_5, t_6) = [3\ 0\ 0\ 0\ 0\ 0\ 1\ 1\ 1\ 1]^T = M_6 = m_0$  şeklindedir. Bu durumda başlangıç işaretleme vektörü,  $[3\ 0\ 0\ 0\ 0\ 0\ 1\ 1\ 1\ 1]^T$  iken bu Petri ağı kısmi tersine dönüşebilir.

## 4. TERSİNE DÖNÜŞEBİLİRLİK

Sınırsız Petri ağlarının ulaşılabilirlik kümesinde sonsuz tane eleman bulunur. [11]'de geliştirilen Bounded-Set algoritması ile, daha önceden belirlenmiş bir  $K$  sınır vektörü kullanılarak sınırsız bir Petri ağının ulaşılabilirlik kümesinin sonlu sayıda elemandan oluşan ve  $R_B$  ile gösterilen bir alt kümesi elde edilmektedir. Bu kümenin elemanları için  $K = [k_1 \ k_2 \dots \ k_{|P|}]^T$  olmak üzere,

$$M(p) \leq K(p), \forall M \in R_B(G, m_0) \text{ ve } \forall p \in P$$

şartı sağlanmaktadır.

Bu bölümde sunulacak iki yöntem ile kısmi tersine dönüşebilir Petri ağları için  $K$  sınır vektörleri bulunur. Bu sınır vektörleri yukarıda bahsedilen algoritmaya girdi olarak verildiğinde, ilgili Petri ağının ulaşılabilirlik kümesinin kısmi tersine dönüşebilir bir alt kümesi elde edilmektedir. Yine [11]'de geliştirilen Reversible-Set algoritması ile de bu kümenin tersine dönüşebilir kısmı, diğer bir deyişle Petri ağının ulaşılabilirlik kümesinin tersine dönüşebilir bir alt kümesi elde edilir. Sunulan yöntemlerle elde edilen sınır vektörleri Petri ağının tersine dönüşebilirliğini garanti eder.

### 4.1 Yöntem 1

Yöntem 1, sınırsız temel bir Petri ağının kısmi tersine dönüşebilirliğini test etmekte, ağ kısmi tersine dönüşebilir ise ağın tersine dönüşebilirliğini garanti eden bir sınır vektörü önermektedir.

Bu yöntem oluşturulurken temel alınan özellikler ve lemmalar aşağıda verilmiştir.

**Özellik 4.1:** Temel bir Petri ağında, ağın yapısındaki okların hepsinin ağırlığı 1 olduğundan, tek bir geçiş ateşlenmesiyle herhangi bir yerde en fazla 1 belirti değişimi meydana gelmektedir. Buna göre temel bir Petri ağında kendisinden tek bir geçiş ateşlenmesi ile  $m_0$ 'a ulaşan  $R(G, m_0)$  elemanı tüm işaretleme

vektörlerinin oluşturduğu küme,

$$R' = \{M \in R(G, m_0) \mid \rho(M, t) = m_0, t \in T; \} \quad (4.1)$$

şeklinde tanımlanır ve temel Petri ağları sözkonusu olduğundan  $\forall M \in R'$  için  $M(p) \pm a = m_0(p)$ ,  $a \in \{0, 1\}$ ,  $\forall p \in P$  şeklindedir.

**Lemma 4.1:** Eğer temel bir Petri ağında  $R'$  kümesinde  $M \neq m_0$  şeklinde bir işaretleme vektörü bulunmuyorsa, Petri ağı kısmi tersine dönüşebilir değildir (Petri ağının ulaşılabilirlik kümesinin tersine dönüşebilir bir alt kümesi yoktur).

**İspat:** Bir Petri ağında herhangi bir  $\bar{M} \in R(G, m_0) \setminus R'$  için,  $\rho(\bar{M}, g) = m_0$  mümkünse; bunu sağlayan en küçük geçiş dizisi  $g = t_{i_1} t_{i_2} t_{i_3} \dots t_{i_k}$ , ( $t_{i_1}, t_{i_2}, t_{i_3}, \dots, t_{i_k} \in T$ ) şeklinde ve  $g_1 = t_{i_1} t_{i_2} t_{i_3} \dots t_{i_{k-1}}$  şeklinde tanımlanmak üzere,  $\rho(\bar{M}, g_1) = M$ ,  $M \neq m_0$  ve  $\rho(M, t_{i_k}) = m_0$  şeklinde elde edilmektedir.  $R'$  kümesinin tanımı gereği burada  $M \in R'$  olmalıdır. Dolayısıyla Petri ağında  $R'$  kümesinde  $M \neq m_0$  şeklinde bir işaretleme vektörü yoksa Petri ağı kısmi tersine dönüşebilir değildir.

Sınırsız Petri ağlarında  $R(G, m_0)$  sonsuz sayıda eleman içerir. Bundan dolayı,  $R(G, m_0)$  kullanılarak tanımlanan  $R'$  kümesini (bkz. Eşitlik 4.1) elde etmek amacıyla, kapsayabilirlik ağacından faydalanılarak, sınırlı sayıda eleman içeren ve  $R'$  kümesini kapsadığı bilinen bir  $\tilde{R}$  kümesi oluşturulur (bkz. Algoritma 4).

**Özellik 4.2:**  $\tilde{R}$ ,  $m_0$ 'dan başlayarak yapılan ateşlemelerle elde edilen sınırlı sayıdaki işaretleme vektöründen oluşan ve

$$R(G, m_0) \supset \tilde{R} \supset R' \quad (4.2)$$

şartını sağlayan bir küme olarak tanımlansın.  $M \in R'$ ,  $M \neq m_0$  şeklinde en az bir işaretleme vektörü varsa hem  $R(G, m_0)$  hem de  $\tilde{R}$  kısmi tersine dönüşebilir,  $\tilde{R}$  kümesindeki tüm işaretleme vektörlerini kapsayan bir sınır vektörü Petri ağının ulaşılabilirlik kümesinin tersine dönüşebilir bir alt

kümesini içerir.

Kapsayabilirlik ağacındaki vektörler ile  $R(G, m_0)$  elemanı işaretleme vektörleri arasındaki ilişki Özellik 4.3 ve Özellik 4.4'de verilmiştir.

**Özellik 4.3:** Eğer  $\tilde{M} >_d M$  ve  $\tilde{M} = \rho(M, g)$ ,  $\delta = \tilde{M} - M$  ise,  $\rho(\tilde{M} + k\delta, g) = \tilde{M} + (k + 1)\delta$ . ( $k \in D$ ) olarak elde edilir [16]. Buna göre bir Petri ağında bir işaretleme vektöründen yapılan ateşlemelerle kendisine baskın bir işaretleme vektörü elde ediliyorsa, yeni elde edilen işaretleme vektöründen yapılan ateşlemelerle bu vektöre baskın yeni vektörler de elde edilir. Petri ağı sınırsızdır.

Eğer  $\tilde{M} >_d M$  ve  $\tilde{M} = \rho(M, g)$  ise kapsayabilirlik ağacında bu  $\tilde{M}$  vektörünün  $\tilde{M}(p) > M(p)$  şartını sağlayan yerlerinde  $w$  sembolü kullanılarak ifade edilir ve kapsayabilirlik ağacındaki  $w$  içeren bir vektör ulaşılabilirlik kümesinde birden fazla işaretleme vektörünü ifade eder.

Örneğin  $M, \tilde{M} \in R(G, m_0)$  iken  $M = [1 \ 1 \ 0]^T$ ,  $\tilde{M} = [2 \ 1 \ 0]^T$  ve  $\rho(M, g) = \tilde{M}$  olsun.  $\rho(\tilde{M}, g) = \tilde{M}_1 = [3 \ 1 \ 0]^T$ ,  $\rho(\tilde{M}_1, g) = \tilde{M}_2 = [4 \ 1 \ 0]^T$ , ..... şeklindedir ( $\tilde{M}_i \in R(G, m_0)$ ,  $i \in D$ ). Ağın kapsayabilirlik ağacında  $[w \ 1 \ 0]$  şeklinde bir vektör bulunur ve bu vektör ulaşılabilirlik kümesindeki  $\tilde{M}$  ve tüm  $\tilde{M}_i$  işaretleme vektörlerini ifade eder.

**Özellik 4.4:**  $\tilde{M} >_d M$  ise  $E(G, \tilde{M}) \supset E(G, M)$  şeklinde elde edilir.

Yöntem 1 için aşağıda verilen algoritmada, öncelikle ele alınan Petri ağının  $\text{rank}(A)$  değerine bakılır ve ağın  $\mathcal{O}$ 'dan farklı bir T-değişmezi yoksa, ağ kısmi tersine dönüşebilir olmadığından (bkz. Lemma 3.1) algoritma sonlandırılır. Eğer Petri ağının  $\mathcal{O}$ 'dan farklı en az bir T-değişmezi varsa; öncelikle Algoritma-1 ile (bkz. Bölüm 3.1)  $\varphi$ ,  $\varphi_1$ ,  $\varphi_2$  kümeleri elde edilir.  $m_0$ 'dan başlanarak yapılan ateşlemelerle  $\varphi_2$  kümesindeki vektörlerin ulaşılabilirlik kümesinde en az belirti taşıyan hallerinin bulunduğu  $R_0$  kümesini oluşturan Algoritma-3 çağrılır.  $R_0$  kümesi elde edildikten sonra, ateşlemelere kalınan yerden devam edilmesi halinde yeni elde edilen herhangi bir  $M$  işaretleme

vektörü, en az bir sınırsız yerde daha fazla belirti taşımak kaydıyla daha önce oluşan en az bir işaretleme vektörüne baskındır. Daha sonra Algoritma-4 çağrılır ve ateşlemelere kalınan yerden devam edilip.  $i = 1$ 'den başlanarak  $R_i \cap R' = \emptyset$  şartını sağlayan bir  $R_i$  kümesi bulunana kadar  $R_i$  kümeleri oluşturulur.  $R_i; R_{i-1}$  kümesindeki işaretleme vektörlerinin, en az bir sınırsız yerinde daha fazla belirti taşıyan hallerinin bulunduğu kümedir (Her bir  $R_i$  kümesi  $R_{i-1}$  kümesinde son kalınan yerden ateşlemelere başlanarak elde edilen işaretleme vektörleri kümesidir). Buna göre  $R_i \cap R' = \emptyset$  ise ( $\forall M \in R_i$  ve en az bir  $p \in \tilde{P}$  için  $M(p) \geq m_0(p) + 2$  ise);  $j > i$  iken  $R_j \cap R' = \emptyset$  olacağından ( $\forall M \in R', M(p) \pm a = m_0(p), a \in \{0, 1\}, \forall p \in P$ ),  $R_i \cap R' = \emptyset$  şartını sağlayan bir  $R_i$  bulunduğu, o ana kadar elde edilen tüm işaretleme vektörleri ile  $\tilde{R}$  kümesi ( $\tilde{R} \supset R'$ ) oluşturulur (bkz. Özellik 4.2). Daha sonra Eşitlik 4.1'den faydalanılarak Petri ağının  $R'$  kümesi oluşturulur.  $M \in R', M \neq m_0$  şeklinde bir  $M$  işaretleme vektörü varsa Petri ağı kısmi tersine dönüşebilir ve ulaşılabilirlik kümesinin tersine dönüşebilir bir alt kümesindeki tüm işaretleme vektörlerini kapsayan bir sınır vektörü 6. basamakta önerilen yaklaşımlardan biriyle bulunur. Aksi takdirde Petri ağı kısmi tersine dönüşebilir değildir (bkz. Lemma 4.1). Algoritma bir sınır vektörü bulmadan sonlanır.

#### [K]=Yöntem1 [G] Algoritması

1. Eğer  $\text{rank}(A) \neq |T|$  ise, 2. adıma geçilir. Aksi durumda algoritma sonlanır.
2. **Algoritma-1** ( bkz. Bölüm 3.1) çağrılır,  $\varphi, \varphi_1, \varphi_2$  kümeleri elde edilir.
3. **Algoritma-3** çağrılır,  $R_0$  kümesi elde edilir.
4. **Algoritma-4** çağrılır,  $\tilde{R}$  kümesi elde edilir.
5. Petri ağı için  $R'$  kümesi

$$R' = \{M \in \tilde{R} \mid \rho(M, t) = m_0, t \in T\} \quad (4.3)$$



şeklinde oluşturulur.  $M \neq m_0$  şeklinde en az  $M \in R'$  işaretleme vektörü varsa 6. adıma geçilir. Aksi takdirde Petri ağı kısmi tersine dönüşebilir değildir, algoritma sonlanır.

6.  $K$  sınır vektörü aşağıdaki yaklaşımlardan biriyle elde edilir:

$$a-) K(p) = \max_{M \in \tilde{R}} (M(p)), \quad \forall p \in P \quad (4.4)$$

b-) **Algoritma-5** çağrılır.

Yöntem 1 algoritmasında  $K$  sınır vektörünün bulunması için kullanılan yaklaşımlardan Algoritma-5'de, sınır vektörü sadece  $\tilde{R}$  kümesindeki  $R'$  işaretleme vektörlerinin oluşması ve  $m_0$ 'a dönmesi esnasında oluşan işaretleme vektörlerini kapsayacak şekilde belirlenmektedir. Oysa ki Eşitlik 4.4 ile  $\tilde{R}$  kümesindeki tüm işaretleme vektörlerini kapsayan bir sınır vektörü elde edilmektedir. Dolayısıyla şöyle bir genelleme yapılabilir: Algoritma-5 ile elde edilen sınır vektörü  $K_1$  ve Eşitlik 4.4 ile elde edilen sınır vektörü  $K_2$  iken  $K_1(p) \leq K_2(p), \forall p \in P$  şeklindedir.

Aşağıda verilen Algoritma-3 ve Algoritma-4'de geçen.  $S$ . bir sonraki  $R_i$  kümesi oluşturulurken ateşlemelerin başlayacağı işaretleme vektörlerine;  $\mathcal{E}$ . daha önce oluşmuş işaretleme vektörlerine;  $\mathcal{D}$ , çıkmaz işaretleme vektörlerine verilen etikettir. Bu algoritmaların inşasında kapsayabilirlik ağacı algoritmasından faydalanılmıştır.

$$[SM, R_0] = \text{Algoritma-3 } [G, \varphi]$$

1.  $m_0$  ağacın en başına yerleştirilir,  $m_0$ 'dan ateşlenebilecek tüm geçişler ateşlenerek yeni işaretleme vektörleri oluşturulur.
2. İşaretleme vektörleri içindeki  $\mathcal{E}$ ,  $\mathcal{D}$  veya  $\mathcal{S}$  etiketli olmayan yeni işaretleme vektörleri sırayla seçilerek herbiri için şu işlem yapılır: (seçilen işaretleme vektörü  $\tilde{M}$  olarak gösterilsin)

(a) Eğer  $m_0$ 'dan  $\tilde{M}$  oluşana kadar olan yolda  $\tilde{M} >_d M$  ve  $E(G, M) =$

$E(G, \tilde{M})$  şeklinde bir  $M$  işaretleme vektörü varsa, bu vektöre  $\mathcal{S}$  etiketi verilir, 2. adıma dönülür.

(b) Eğer daha önce  $\tilde{M}$  işaretleme vektörü elde edilmiş ise, bu vektöre  $\mathcal{E}$  etiketi verilir, 2. adıma dönülür.

(c) Eğer  $\tilde{M}$  işaretleme vektöründen hiçbir geçiş ateşlenmiyorsa, bu vektöre  $\mathcal{D}$  etiketi verilir, 2. adıma dönülür.

(d) Diğer durumlarda  $\tilde{M}$  işaretleme vektöründen ateşlenebilecek geçişler ateşlenerek, yeni işaretleme vektörleri elde edilir, 2. adıma dönülür.

3. Bu adıma gelinceye kadar oluşan işaretleme vektörleri içinde,  $\varphi_1$  kümesindeki tüm işaretleme vektörleri ve herbir  $\varphi_2$  elemanına karşılık en az bir işaretleme vektörü bulunuyorsa,  $\mathcal{S}$  etiketli işaretleme vektörleri ile  $SM$  kümesi oluşturulur, oluşan tüm işaretleme vektörleri ile  $R_0$  kümesi oluşturulur ve algoritma sonlanır. Aksi takdirde,  $\mathcal{S}$  etiketli işaretleme vektörlerinin etiketleri kaldırılır, bu vektörlerden ateşlenebilecek tüm geçişler ateşlenerek yeni işaretleme vektörleri oluşturulur, 2. adıma dönülür.

Algoritma-3 ile belirlenen  $R_0$  işaretleme vektörleri kümesi tüm  $\varphi_1$  işaretleme vektörlerinin ve Petri ağının kapsayabilirlik ağındaki tüm  $\varphi_2$  elemanlarının ulaşılabilirlik kümesinde en az belirti taşıyan hallerinin bulunduğu kümedir.

$[\tilde{R}] = \text{Algoritma-4 } [G, SM]$

1.  $i = 1$
2.  $SM_0 = SM$  yapılır.  $SM_0$  kümesindeki işaretleme vektörleri ateşlemelerin başlayacağı işaretleme vektörleridir,  $\mathcal{S}$  ile etiketlenir.
3.  $SM_{i-1}$  kümesindeki işaretleme vektörlerinden ateşlenebilecek tüm geçişler ateşlenerek, yeni işaretleme vektörleri oluşturulur.
4. Yeni işaretleme vektörleri içindeki  $\mathcal{E}$ ,  $\mathcal{D}$  veya  $\mathcal{S}$  etiketli olmayan işaretleme

vektörleri sırayla seçilerek şu işlemler yapılır: (seçilen işaretleme vektörü  $\tilde{M}$  olarak gösterilsin)

- (a) Eğer  $\tilde{M} >_d M$  ve  $E(G, M) = E(G, \tilde{M})$  şeklinde  $SM_{i-1}$  elemanı bir  $M$  işaretleme vektörü varsa, bu vektöre  $\mathcal{S}$  etiketi verilir. 4.adıma dönülür.
  - (b) Eğer  $\tilde{M}$  daha önce elde edildiyse, bu vektöre  $\mathcal{E}$  etiketi verilir. 4.adıma dönülür.
  - (c) Eğer  $\tilde{M}$  işaretleme vektöründen hiçbir geçiş ateşlenmiyorsa, bu vektöre  $\mathcal{D}$  etiketi verilir, 4. adıma dönülür.
  - (d) Diğer durumlarda  $\tilde{M}$  işaretleme vektöründen ateşlenebilecek geçişler ateşlenerek, yeni işaretleme vektörleri elde edilir. 4.adıma dönülür.
5.  $SM_{i-1}$  kümesindeki işaretleme vektörlerinden yapılan ateşlemelerle elde edilen  $\mathcal{E}$  etiketli olmayan tüm işaretleme vektörleri ile  $R_i$  kümesi oluşturulur.
  6.  $\forall M \in R_i$  ve en az bir  $p \in \tilde{P}$  için  $M(p) \geq m_0(p) + 2$  sağlanıyorsa (bu şartın sağlanması  $R_i \cap R' = \emptyset$  anlamına gelir)  $\tilde{R} = \bigcup_{j=0}^{i-1} R_j$  şeklinde oluşturulur. algoritma sonlanır. Aksi takdirde,  $i = i + 1$  yapılır ve 4.adımda  $\mathcal{S}$  ile etiketlenen işaretleme vektörleri  $SM_{i-1}$  kümesi içine atılarak 3.adıma dönülür.

Algoritma-4 ile elde edilen  $\tilde{R}$ ,  $m_0$ 'dan başlayarak yapılan ateşlemelerle elde edilen işaretleme vektörlerinden oluşan, kapsayabilirlik ağacındaki her bir vektörün ulaşılabilirlik kümesinde ifade ettiği en az bir işaretleme vektörünü içeren ve Petri ağıının  $R'$  kümesini kapsayan bir işaretleme vektörleri kümesidir (bkz. Özellik 4.2).

[K]=Algoritma-5[G,  $\tilde{R}$ ]

1.  $PR = \emptyset, K_{bu_f} = \emptyset$

2. Herbir  $M \in R'$  işaretleme vektörü sırayla seçilerek herbiri için şu işlem yapılır:

2.1  $\rho(m_0, g) = M$  ateşlemesinde elde edilen tüm işaretleme vektörleri  $PR$  kümesi içine atılır.

$$K_x(p) = \max_{M' \in PR} (M'(p)), \quad \forall p \in P \quad (4.5)$$

şeklinde belirlenir,  $K_{buf} = K_{buf} \cup K_x$ ,  $PR = \emptyset$  yapılır, 2.adıma dönlür.

3.  $K$  vektörü,

$$K(p) = \max_{K_x \in K_{buf}} (K_x(p)), \quad \forall p \in P \quad (4.6)$$

şeklinde belirlenir.

Algoritma-5 ile bulunan  $K$ , tüm  $R'$  elemanlarının oluşması ve yeniden  $m_0$ 'a dönmeleri esnasında oluşan tüm işaretleme vektörlerini kapsayan bir sınır vektörüdür.

Yöntem 1 algoritması için geliştirilen Yöntem1.m adlı Matlab programı Ek-C'de verilmiştir. Bu programda  $K$  sınır vektörünün belirlenmesi aşamasında Algoritma-5 kullanılmaktadır.

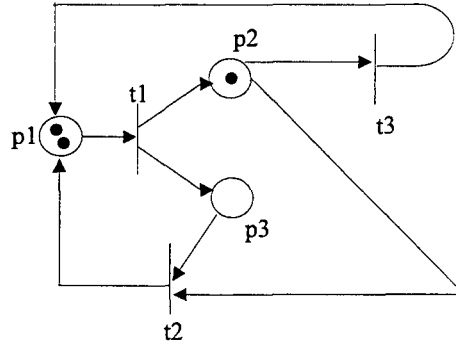
**Teorem 4.1:** Yöntem 1 Algoritması kullanılarak elde edilen  $K$  sınır vektörü (bkz. Eşitlik 4.4) Petri ağının tersine dönüşebilirliğini garanti eden bir sınır vektörüdür.

**İspat:** Yöntem 1 algoritmasında elde edilen  $\tilde{R}$  kümesi ile Petri ağının  $R'$  kümesi arasında  $\tilde{R} \supset R'$  şeklinde bir ilişki sözkonusudur.  $R'$  elemanı bir  $M$  işaretleme vektörünün  $M \neq m_0$  şartını sağlaması durumunda  $\tilde{R}$  kısmi tersine dönüşebilir ve  $K$  sınır vektörü belirlenir (bkz. Özellik 4.2). Belirlenen  $K$ ,  $\tilde{R}$  kümesindeki tüm işaretleme vektörlerini, dolayısıyla Petri ağının ulaşılabilirlik kümesinin tersine dönüşebilir bir alt kümesindeki tüm vektörleri kapsadığından (bkz. Eşitlik 4.4) Petri ağının tersine dönüşebilirliğini garanti etmektedir.

**Teorem 4.2:** Yöntem 1'de Algoritma-5 kullanılarak elde edilen  $K$  sınır vektörü Petri ağının tersine dönüşebilirliğini garanti eden bir sınır vektörüdür.

**İspat:** Bir Petri ağının kısmi tersine dönüşebilir olduğu durumda, en az bir  $M \in R'$  için,  $M \neq m_0$  şeklindedir ve  $R'$  kümesindeki tüm işaretleme vektörleri  $\rho(M, t) = m_0$  eşitliğini sağladığından, hepsi  $m_0$ 'a ulaşmaktadır (bkz. Eşitlik 4.1). Algoritma-5 ile elde edilen  $K$  sınır vektörü, her bir  $M \in R'$  için, bir  $\rho(m_0, g) = M$  ve  $\rho(M, t) = m_0$  ateşlemesi esnasında oluşan her işaretleme vektörlerini kapsamaktadır. Bu işaretleme vektörlerinin herbiri  $m_0$ 'a ulaşabilir. Bu durumda  $K$ , Petri ağının ulaşılabilirlik kümesinin tersine dönüşebilir bir alt kümesindeki tüm işaretleme vektörlerini kapsar ve dolayısıyla Petri ağının tersine dönüşebilirliğini garanti eder.

Örneğin, Şekil 4.1'deki Petri ağı [4] için  $\text{rank}(A) \neq |T| = 3$  olduğundan bu ağın  $\mathcal{O}$ 'dan farklı bir T-değişmezi vardır, ağ en az bir başlangıç vektörü için kısmi tersine dönüşebiliridir.



Şekil 4.1: Örnek bir Petri ağı

Bu örnek ağ için Yöntem1.m programı çalıştırıldığında aşağıdaki veriler elde edilir;

- $\varphi(G, m_0) = \{[2 \ 1 \ 0]^T, [1 \ 2 \ 1]^T, [3 \ 0 \ 0]^T, [0 \ 3 \ 2]^T, [2 \ 1 \ w]^T, [1 \ 2 \ w]^T, [3 \ 0 \ w]^T, [0 \ 3 \ w]^T\}$
- $R_0 = \{[2 \ 1 \ 0]^T, [1 \ 2 \ 1]^T, [3 \ 0 \ 0]^T, [0 \ 3 \ 2]^T, [2 \ 1 \ 1]^T, [1 \ 2 \ 2]^T, [3 \ 0 \ 1]^T\}$

- $R_1 = \{[0\ 3\ 3]^T, [1\ 2\ 3]^T, [3\ 0\ 2]^T, [2\ 1\ 2]^T\}$

Burada,  $\forall M \in R_1$  ve en az bir sınırsız  $p$  yeri için  $M(p) \geq m_0(p) + 2$  sağlandı-  
ğından.

$$R_1 \cap R' = \emptyset \text{ ve } \tilde{R} = R_0$$

olarak belirlenir. Bunun üzerine Petri ağının  $R'$  kümesi Eşitlik 4.3'den yarar-  
lanılarak,  $R' = \{[1\ 2\ 1]^T\}$  olarak elde edilmektedir. Petri ağı kısmi tersine  
dönüşebiliridir.  $\tilde{R}$  kümesi içinde  $m_0$ 'dan  $[1\ 2\ 1]^T$  işaretleme vektörü ve yine  
 $m_0$  oluşana kadarki yol;  $\rho([2\ 1\ 0]^T, t_1) = [1\ 2\ 1]^T$ .  $\rho([1\ 2\ 1]^T, t_2) = [2\ 1\ 0]^T$   
şeklinde olduğundan, bu Petri ağının kısmi tersine dönüşebilirliğini garanti  
eden  $K$  sınır vektörü, Algoritma-5'e göre  $K = [2\ 2\ 1]^T$  şeklinde elde edilmek-  
tedir. Yöntem1.m programının çıktı dosyasında  $\tilde{R}$ ,  $R'$  ve  $K$  bilgilerine yer  
verilmektedir (bkz. Şekil 4.2).

<b>R</b>		<b>R'</b>	<b>K</b>
210	122	121	221
121	300		
032			
211			
301			

Şekil 4.2: Şekil 4.1 için Yöntem1.m programının çıktı dosyası

Elde edilen  $K$  sınır vektörü kullanılarak, sırasıyla Bounded-Set ve Re-  
versible-Set algoritmaları [11] çalıştırıldığında Petri ağının ulaşılabilirlik küme-  
sinin tersine dönüşebilir bir alt kümesi ( $R_r = \{[2\ 1\ 0]^T, [1\ 2\ 1]^T\}$ ) oluşturulur.

Bu Petri ağı için, Yöntem 1 algoritmasında verilen Eşitlik 4.4 ile  
elde edilen sınır vektörü  $[3\ 3\ 2]^T$  ve bu sınır vektörü kullanılarak, sırasıyla  
Bounded-Set ve Reversible-Set algoritmaları çalıştırıldığında elde edilen ter-  
sine dönüşebilir küme  $R_r = \{[2\ 1\ 0]^T, [1\ 2\ 1]^T, [0\ 3\ 2]^T\}$  şeklindedir.

## 4.2 Yöntem 2

Bu bölümde kısmi tersine dönüşebilir temel bir Petri ağının bu özelliğini garanti eden bir  $K$  sınır vektörü Algoritma-2 (bkz. Bölüm 3.3.2) ile bulunan T-değişmezleri kullanılarak elde edilecektir.

Yöntem 2 için aşağıda verilen algorithmada, öncelikle Petri ağının  $\text{rank}(A)$  değerine bakılır ve ağın  $\mathcal{O}$ 'dan farklı bir T-değişmezi yoksa, ağın kısmi tersine dönüşebilir olmadığı sonucuna ulaşılır (bkz. Lemma 3.1). Eğer Petri ağının  $\mathcal{O}$ 'dan farklı en az bir T-değişmezi varsa Algoritma-2 (bkz. Bölüm 3.3.2) ile Petri ağının minimum T-değişmezleri bulunur ve bunlarla  $\mathcal{T}$  kümesi oluşturulur. Algoritma-6 ile bu T-değişmezlerine karşılık gelen geçiş dizilerinden  $m_0$ 'dan ateşlenebilen olup olmadığı kontrol edilir. Eğer böyle bir geçiş dizisi varsa Petri ağı kısmi tersine dönüşebilir ve bulunan geçiş dizilerinin ateşlenmesi esnasında oluşacak tüm işaretleme vektörlerini kapsayacak bir sınır vektörü, Petri ağının tersine dönüşebilirliğini garanti eden  $K$  sınır vektörü olarak seçilir. Eğer Algoritma-2 ile elde edilen T-değişmezlerine karşılık gelen geçiş dizilerinden  $m_0$ 'dan ateşlenebilen yoksa, algoritma bir sınır vektörü bulmadan sonlanır. Ancak bu, ağın kısmi tersine dönüşebilir olmadığı anlamına gelmez. Çünkü Petri ağının  $\mathcal{O}$ 'dan farklı en az bir T-değişmezi varsa, sonsuz tane T-değişmezi vardır. Yöntem 2'de ise sadece Algoritma-2 ile bulunan T-değişmezlerinin  $m_0$ 'dan ateşlenebilirliği kontrol edilmektedir.

### Yöntem 2 Algoritması

1. Eğer  $\text{rank}(A) \neq |T|$  ise, 2. adıma geçilir. Aksi durumda algoritma sonlanır.
2. **Algoritma-2** çağrılır, bulunan T-değişmezleri ile  $\mathcal{T}$  kümesi oluşturulur.
3. **Algoritma-6** çağrılır,  $K_{buf}$  kümesi oluşturulur.
4. Sınır vektörü

$$K(p) = \max_{K_x \in K_{buf}} (K_x(p)), \quad \forall p \in P \quad (4.7)$$

şeklinde belirlenir.

Algoritma-6'da kullanılan ve elde edilen her bir  $M$  işaretleme vektörü için oluşturulan  $GY(M)$ ,  $m_0$ 'dan  $M$  işaretleme vektörü oluşana kadar ateşlenen geçiş dizisinin ateşleme sayısı vektörünü göstermektedir. Örneğin,  $T = \{t_1, t_2, t_3, t_4, t_5\}$  iken  $\rho(m_0, t_3 t_2 t_5 t_2) = M$  şeklinde oluşan bir  $M$  işaretleme vektörü için  $GY(M) = [0 \ 2 \ 1 \ 0 \ 1]^T$  olarak belirlenir. Petri ağının ulaşılabilirlik kümesindeki bir  $M$  işaretleme vektörü  $m_0$ 'dan ateşlenen farklı geçiş dizileri ile farklı yollardan (geçiş ve işaretleme vektörlerinden oluşan bir dizi) birden fazla kere oluşmuş olabilir. Algoritma-6,  $m_0$ 'dan farklı yollardan oluşan işaretleme vektörlerini, farklı vektörler olarak kabul eder ve herbiri için ayrı  $GY(\cdot)$  oluşturur.

Algoritma-6 ile  $T_j$  vektörleri ( $T_j$ :  $T$  kümesindeki  $j$ .T-değişmezi,  $j \in \{1, 2, \dots, |T|\}$ ) sırayla seçilmekte ve herbiri için şu işlemler yapılmaktadır:

$m_0$ 'dan ateşlemelere başlanarak yeni işaretleme vektörleri oluşturulmaktadır. Oluşan her  $M$  işaretleme vektörü için  $GY(\cdot)$  vektörü belirlenmektedir.  $T_j - GY(M) = \alpha$  iken,

- $\alpha(i) < 0$  en az bir  $i \in \{1, 2, \dots, |T|\}$  ise;

$i$  ninci geçiş,  $g_1$  geçiş dizisinde  $T_j$ 'de ifade edilenden daha fazla ateşlendiğinden,  $T_j$  değişmezinin ifade ettiği bir geçiş dizisinin  $m_0$ 'dan ateşlenmesi ile  $m_0$ 'a dönülemez. Bu durumda algoritma  $M$  işaretleme vektörünü  $\mathcal{X}$  olarak etiketlemekte ve bu vektörden başka geçiş ateşlememektedir.

- $\alpha(i) \geq 0$   $i \in \{1, 2, \dots, |T|\}$  ve  $\alpha \neq \mathcal{O}$  ise;

$g_1$  geçiş dizisinde tüm geçişler  $T_j$ 'de ifade edildiğinden daha az veya eşit sayıda ateşlendiğinden,  $\rho(M, g_2) = m_0$  şeklinde bir  $g_2$  geçiş dizisi bulunma ihtimali korunmaktadır. Bu durumda algoritma  $M$  işaretleme vektörünü  $\mathcal{N}$  ile etiketlenerek ve bu



vektörden ateşlemelere devam ederek  $g_2$  geçiş dizisinin varlığını kontrol etmektedir.

- $\alpha = \mathcal{O}$  ise  $\rho(m_0, g_1) = M = m_0$  şeklindedir.  $m_0$ 'dan yeniden  $m_0$  ( $M$ ) elde edilirken  $M' \neq m_0$  şeklinde en az bir işaretleme vektörü elde ediliyorsa, Petri ağı kısmi tersine dönüşebilir.  $m_0$ 'dan  $g_1$  geçiş dizisinin ateşlenmesi esnasında oluşan tüm işaretleme vektörlerini ( $m_0$ 'dan  $M'$  işaretleme vektörüne ulaşılrken ve  $M'$  dan yeniden  $m_0$ 'a ulaşılrken oluşan tüm işaretleme vektörlerini) kapsayan bir sınır vektörü ( $K_x$ ) ağı kısmi tersine dönüşebilirliğini garanti eder. Algoritma-6.  $\rho(m_0, g_1) = M = m_0$  ( $g = g_1$ ) şeklinde elde edilen tüm  $M$  işaretleme vektörleri için, yukarıda bahsedilen şekilde  $K_x$  sınır vektörleri belirlemekte ve tüm  $K_x$  sınır vektörlerinin kapsadığı işaretleme vektörlerini kapsayacak en küçük  $K$  sınır vektörünü ağı kısmi tersine dönüşebilirliğini garanti eden sınır vektörü olarak seçmektedir.

Yine bu alitmada geçen  $\mathcal{X}$  kendisinden ateşleme yapılmayacak işaretleme vektörlerine,  $\mathcal{N}$  kendisinden yapılan ateşlemelere devam edilecek işaretleme vektörlerine verilen etikettir.

$[K_{buf}] = \text{Algoritma-6 } [G, \mathcal{T}]$

1.  $s = |\mathcal{T}|$ ,  $K_x = K_{buf} = \emptyset$ ,  $j = 1$  şeklinde belirlenir.  $T_j$ .  $\mathcal{T}$  kümesinin j. elemanıdır.<sup>3</sup>
2.  $m_0$ ,  $\mathcal{N}$  olarak etiketlenir, ağacın üstüne yerleştirilir.
3.  $\mathcal{N}$  ile etiketli işaretleme vektörleri sırayla seçilerek herbiri için şu işlemler yapılır: (seçilen işaretleme vektörü  $M$  olsun)

3.1  $M$  vektörü için  $GY(M)$  vektörü oluşturulur.

<sup>3</sup>Örneğin bir Petri ağının Algoritma-5 ile bulunan T-değişmezleri,  $[0 \ 1 \ 1]^T$ ,  $[1 \ 1 \ 0]^T$  şeklinde ise,  $\mathcal{T} = \{[0 \ 1 \ 1]^T, [1 \ 1 \ 0]^T\}$ ;  $T_1 = [0 \ 1 \ 1]^T$ ,  $T_2 = [1 \ 1 \ 0]^T$ .

3.2  $T_j - GY(M) = \alpha$  oluşturulur.

- (a) Eğer  $\alpha(i) < 0$  en az bir  $i \in \{1, 2, \dots, |T|\}$  ise bu vektörün etiketi  $\mathcal{X}$  olarak değiştirilir, 3. adıma dönülür.
- (b) Eğer  $\alpha(i) \geq 0 \forall i \in \{1, 2, \dots, |T|\}$  ve  $\alpha \neq \mathcal{O}$  ise bu vektörden ateşlenebilecek tüm geçişler ateşlenerek yeni  $M'$  işaretleme vektörleri elde edilir,  $\mathcal{N}$  ile etiketlenir, 3. adıma dönülür.
- (c) Eğer  $\alpha(i) = 0 \forall i \in \{1, 2, \dots, |T|\}$  ise,  $M = m_0$ 'dır ve  $m_0$ 'dan  $M$  oluşana kadar olan yoldaki tüm işaretleme vektörleri  $PR$  kümesi içine atılır.  $K_x$  bir vektör olmak üzere;

$$K_x(p) = \max_{M' \in PR} (M'(p)), \forall p \in P \quad (4.8)$$

olarak belirlenir ve  $K_{buf} = K_{buf} \cup K_x$  yapılarak 3. adıma dönülür.

4.  $j = j + 1$  yapılır. Eğer  $j < s + 1$  ise 2. adıma dönülür,  $j \geq s + 1$  ise algoritmadan çıkılır.

Yöntem 2 için geliştirilen Yöntem2.m adlı Matlab programı Ek-D'de verilmiştir.

**Teorem 4.3:** Yöntem 2 Algoritmasında Eşitlik 4.7 ile elde edilen  $K$  sınır vektörü kısmi tersine dönüşebilir bir Petri ağının tersine dönüşebilirliğini garanti eden bir sınır vektörüdür.

**İspat:** Bir Petri ağında  $\mathcal{O}$ 'dan farklı bir T-değişmeze karşılık gelen bir  $g$  geçiş dizisinin  $m_0$ 'dan ateşlenebilmesi durumunda yeniden  $m_0$ 'a ulaşılmaktadır. Bu esnada oluşan tüm işaretleme vektörleri  $m_0$ 'a dönebilme özelliğine sahip olduğundan,  $M \neq m_0$  şeklinde en az bir işaretleme vektörü oluşmuş ise Petri ağı kısmi tersine dönüşebilir. Herbir  $K_x$  vektörü, bu özellikteki bir geçiş dizisinin  $m_0$ 'dan ateşlenmesi esnasında oluşan tüm işaretleme vektörlerini kapsayacak şekilde oluşturulmaktadır (bkz. Eşitlik 4.8). Eşitlik 4.7'de elde edilen  $K$  için  $K(i) \geq K_x(i), \forall i \in \{1, 2, \dots, |P|\}, \forall K_x \in K_{buf}$  olduğundan  $K$ , Petri ağının ulaşılabilirlik kümesinin tersine dönüşebilir bir alt kümesindeki tüm işaretleme

vektörlerini kapsar ve ağın tersine dönüşebilirliğini garanti eder.

Örneğin. Şekil 4.1'deki Petri ağı için Yöntem2.m programı çalıştırıldığında. Algoritma-2 yardımıyla bulunan T-değişmezi  $[1 \ 1 \ 0]^T$ 'dir. Yani " $t_1, t_2$ " geçişlerinin birer kez kullanıldığı bir  $g$  geçiş dizisinin ( $g = t_1 t_2$  veya  $g = t_2 t_1$ )  $m_0$ 'dan ateşlenebilmesi durumunda  $m_0$ 'a geri dönülür. Yöntem2.m programı ile böyle bir  $g$  geçiş dizisinin  $m_0$ 'dan ateşlenebilirliği (ağın kısmi tersine dönüşebilirliği) araştırılmakta, eğer ateşlenebiliyorsa oluşan işaretleme vektörleri için K sınır vektörü belirlenmektedir. Bu Petri ağı için Yöntem2.m programı şu şekilde çalışmaktadır:

- $\rho(m_0, t_1)=[1 \ 2 \ 1]^T = M_1$ ,  $GY(M_1) = [1 \ 0 \ 0]^T$ ,  $\alpha = [0 \ 1 \ 0]^T$ :  $M_1$ 'den ateşlemelere devam edilir.
- $\rho(m_0, t_3)=[3 \ 0 \ 0]^T = M_2$ ,  $GY(M_2) = [0 \ 0 \ 1]^T$ ,  $\alpha = [1 \ 1 \ -1]^T$ :  $M_2$ 'den ateşlemelere devam edilmez.
- $\rho(M_1, t_1)=[0 \ 3 \ 2]^T = M_3$ ,  $GY(M_3) = [2 \ 0 \ 0]^T$ ,  $\alpha = [-1 \ 1 \ 0]^T$ :  $M_3$ 'den ateşlemelere devam edilmez.
- $\rho(M_1, t_2)=[2 \ 1 \ 0]^T = m_0$ ,  $GY(m_0) = [1 \ 1 \ 0]^T$ ,  $\alpha = [0 \ 0 \ 0]^T$ : bir  $g$  geçiş dizisi ateşlenmiştir.
- $\rho(M_1, t_3)=[2 \ 1 \ 1]^T = M_4$ ,  $GY(M_4) = [1 \ 0 \ 1]^T$ ,  $\alpha = [0 \ 0 \ -1]^T$ :  $M_4$ 'den ateşlemelere devam edilmez.

Yukarıda da görüldüğü gibi bu Petri ağı için Mark&Silva Algoritması ile bulunan ve  $m_0$ 'dan ateşlenmesiyle yeniden  $m_0$ 'a ulaşan tek bir  $g$  geçiş dizisi ve dolayısıyla, bu geçiş dizisinin oluşturduğu tek bir yol vardır. Yöntem2.m programının çıktı dosyası, kullanılan T-değişmezlerini, bu T-değişmezlerinin ifade ettiği geçiş dizilerinden  $m_0$ 'dan ateşlenmesi ile yeniden  $m_0$ 'a ulaşanların oluşturduğu yoldaki işaretleme vektörlerini, her bir yol için bulunan  $K_x$  sınır vektörlerini ve Petri ağının tersine dönüşebilirliğini garanti eden  $K$  sınır vektörünü içermektedir (bkz. Şekil 4.3).

T-degismezi	Yol:	$K_x$
1 1 0	1 2 1	2 2 1
	2 1 0	
<b>K</b>		
<b>2 2 1</b>		

Şekil 4.3: Şekil 4.1 için Yöntem2.m programının çıktı dosyası

### 4.3 K Sınır Vektörü ile Kontrolör Tasarımı

Sınırsız bir Petri ağı için bu bölümde sunulan yöntemlerden biri ile (Yöntem 1 veya Yöntem 2) bir  $K$  sınır vektörü elde edilebiliyorsa ağ kısmi tersine dönüşebilir ve  $K$ , Petri ağının ulaşılabilirlik kümesinin tersine dönüşebilir bir alt kümesindeki tüm işaretleme vektörlerini kapsar.

Sınırsız bir Petri ağı için elde edilen  $K$  sınır vektörü [11]'de geliştirilen Bounded-Set algoritmasına girdi olarak verildiğinde, ağın ulaşılabilirlik kümesinin  $K$  sınırlı, kısmi tersine dönüşebilir bir alt kümesi ( $R_B$ ) elde edilmektedir.  $R_B$  kümesi Reversible-Set algoritmasına girdi olarak verildiğinde elde edilen  $R_r$  kümesi tersine dönüşebilir. Eşitlik 4.9'da bu veriler kullanılarak tasarlanan kontrolör,  $c : R(G, m_0) \times T \rightarrow \{0, 1\}$  ile Petri ağının tersine dönüşebilirliği garanti edilmektedir [11].

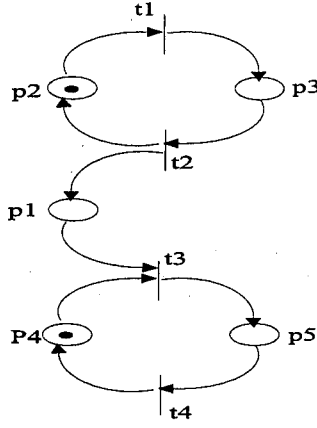
$$c(M, t) = \begin{cases} 1, & \text{eğer } \rho(M, t) \in R_r \\ 0, & \text{diğer durumlar} \end{cases} \quad (4.9)$$

Burada  $c(M, t) = 1$ ,  $M$  işaretleme vektöründen  $t$  geçişin ateşlenebilmesi ve  $c(M, t) = 0$ ,  $M$  işaretleme vektöründen  $t$  geçişinin ateşlenememesi anlamını taşır.

## 5. UYGULAMALAR

Bölüm 4'de kısmi tersine dönüşebilir bir Petri ağıının tersine dönüşebilirliğini garanti eden bir  $K$  sınır vektörünün bulunabilmesi için kullanılacak iki yöntem ortaya kondu. Bu bölümde çeşitli Petri ağları için bu yöntemlerin uygulaması yapılacaktır.

### 5.1 Uygulama 1



Şekil 5.1: 1.Uygulama için Petri ağı

Şekil 5.1'deki Petri ağı [12] için giriş, çıkış matrisleri ve başlangıç işaretleme vektörü sırasıyla şu şekildedir;

$$N = \begin{bmatrix} 0 & 0 & 1 & 0 \\ 1 & 0 & 0 & 0 \\ 0 & 1 & 0 & 0 \\ 0 & 0 & 1 & 0 \\ 0 & 0 & 0 & 1 \end{bmatrix} \quad O = \begin{bmatrix} 0 & 1 & 0 & 0 \\ 0 & 1 & 0 & 0 \\ 1 & 0 & 0 & 0 \\ 0 & 0 & 0 & 1 \\ 0 & 0 & 1 & 0 \end{bmatrix}$$

$$m_0 = [0 \ 0 \ 1 \ 1 \ 0]$$

### 5.1.1 1.Uygulama İçin Yöntem 1

$rank(A) \neq |T|$  olduğundan bu ağın  $\mathcal{O}$ 'dan farklı T-değişmezi vardır. ağ en az bir başlangıç vektörü için kısmi tersine dönüşebilir. Bu uygulama için Yöntem1.m programının çıktı dosyası Şekil 5.2'de görülmektedir.

R		R'	K
00110	11010	00101	11111
10110	01001	01010	
00101	01010		
11001	21010		
10101	20110		
31010	21001		

Şekil 5.2: 1.Uygulama için Yöntem1.m programının çıktı dosyası

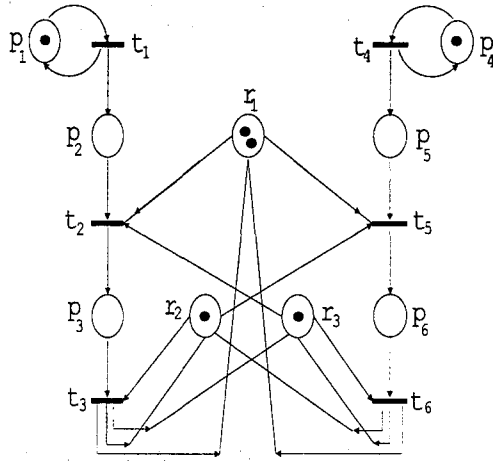
### 5.1.2 1.Uygulama İçin Yöntem 2

Bu Petri ağı için Tinv.m programı çalıştırıldığında bulunan T-değişmezi  $[1 \ 1 \ 1]^T$  şeklindedir. Yani " $t_1, t_2, t_3, t_4$ " geçişlerinin birer kez kullanıldığı bir  $g$  geçiş dizisinin  $m_0$ 'dan ateşlenebilmesi durumunda  $m_0$ 'a geri dönülür. Bu Petri ağı için bu özellikte iki ayrı geçiş dizisi  $m_0$ 'dan ateşlenebilmektedir. Dolayısıyla bu ateşleme esnasında iki ayrı yol oluşmaktadır. Bu yollarda oluşan işaretleme vektörlerinin, her yol için elde edilen  $K_x$  sınır vektörlerinin ve Petri ağının tersine dönüşebilirliğini garanti eden  $K$  sınır vektörünün bulunduğu. Yöntem2.m programının çıktı dosyası Şekil 5.3'de görülmektedir.

T-degismezi	Yol:	$K_x$
1 1 1 1	0 0 1 0 1	1 1 1 1 1
	1 0 1 1 0	
	1 1 0 1 0	
	0 0 1 1 0	
	Yol:	$K_x$
	0 1 0 1 0	1 1 1 1 1
	0 1 0 0 1	
	1 1 0 1 0	
	0 0 1 1 0	
<b>K</b>		
1 1 1 1		

Şekil 5.3: 1.Uygulama için Yöntem2.m programının çıktı dosyası

## 5.2 Uygulama 2



Şekil 5.4: 2.Uygulama için Petri ağı

Şekil 5.4'deki Petri ağı [11] için ( $P = \{p_1, p_2, p_3, r_1, r_2, r_3, p_4, p_5, p_6\}$ ) giriş, çıkış matrisleri ve başlangıç işaretleme vektörü sırasıyla şu şekildedir;

$$N = \begin{bmatrix} 1 & 0 & 0 & 0 & 0 & 0 \\ 0 & 1 & 0 & 0 & 0 & 0 \\ 0 & 0 & 1 & 0 & 0 & 0 \\ 0 & 1 & 0 & 0 & 1 & 0 \\ 0 & 0 & 1 & 0 & 1 & 0 \\ 0 & 1 & 0 & 0 & 0 & 1 \\ 0 & 0 & 0 & 1 & 0 & 0 \\ 0 & 0 & 0 & 0 & 1 & 0 \\ 0 & 0 & 0 & 0 & 0 & 1 \end{bmatrix} \quad O = \begin{bmatrix} 1 & 0 & 0 & 0 & 0 & 0 \\ 1 & 0 & 0 & 0 & 0 & 0 \\ 0 & 1 & 0 & 0 & 0 & 0 \\ 0 & 0 & 1 & 0 & 0 & 1 \\ 0 & 0 & 1 & 0 & 0 & 1 \\ 0 & 0 & 1 & 0 & 0 & 1 \\ 0 & 0 & 0 & 1 & 0 & 0 \\ 0 & 0 & 0 & 1 & 0 & 0 \\ 0 & 0 & 0 & 0 & 1 & 0 \end{bmatrix}$$

$$m_0 = [1 \ 0 \ 0 \ 2 \ 1 \ 1 \ 1 \ 0 \ 0]^T$$

### 5.2.1 2.Uygulama İçin Yöntem 1

$rank(A) \neq |T|$  olduğundan bu ağın  $\mathcal{O}$ 'dan farklı T-değişmezi vardır. ağ en az bir başlangıç vektörü için kısmi tersine dönüşebilir. Bu uygulama için Yöntem1.m programının çıktı dosyası Şekil 5.5'de görülmektedir.

### 5.2.2 2.Uygulama İçin Yöntem 2

Bu Petri ağı için Tinv.m programı çalıştırıldığında  $[1 \ 1 \ 1 \ 0 \ 0 \ 0]^T$  ve  $[0 \ 0 \ 0 \ 1 \ 1 \ 1]^T$  olmak üzere iki tane T-değişmezi bulunur. Yani " $t_1, t_2, t_3$ " ve/veya " $t_4, t_5, t_6$ " geçişlerinin birer kez kullanıldığı geçiş dizilerinin, yani sırasıyla  $g_1$  ve/veya  $g_2$ 'nin  $m_0$ 'dan ateşlenebilmesi durumunda  $m_0$ 'a geri dönülür. Bu Petri ağı için  $g_1$  ve  $g_2$  özelliklerinde birer geçiş dizisi ateşlenebilmektedir. Dolayısıyla bu ateşleme esnasında iki yol oluşmaktadır. Bu yollarda oluşan işaretleme vektörlerinin, her yol için elde edilen  $K_x$  sınır vektörlerinin ve Petri ağının tersine dönüşebilirliğini garanti eden  $K$  sınır vektörünün bulunduğu, Yöntem2.m programının çıktı dosyası Şekil 5.6'da görülmektedir.



R	R'	K
100211100	110211100	101110100 111211111
100211110	120211100	100101101
101110100	110211110	
100211120	100101101	
111110100	101110110	
120211110	110211120	
110101101	100101111	
111110110	101110120	
101000101	120101101	
110101111	111000101	
101000111	130211100	
100211130	121110100	
130211110	120211120	
110211130	100101121	
121110110	111110120	
101110130	130101101	
120101111	110101121	
121000101	111000111	
101000121	140211100	
100211140	131110100	
140211110	130211120	
120211130	110211140	
100101131	131110110	
121110120	111110130	
101110140	140101101	
130101111	120101121	
110101131	131000101	
121000111	111000121	
101000131		

Şekil 5.5: 2.Uygulama için Yöntem1.m programının çıktı dosyası

T-degismezi	Yol:	K <sub>x</sub>
111000	101110100	111211100
	110211100	
	100211100	
T-degismezi	Yol:	K <sub>x</sub>
000111	100101101	100211111
	100211110	
	100211100	
K		
111211111		

Şekil 5.6: 2.Uygulama için Yöntem2.m programının çıktı dosyası

## 6. SONUÇLAR

Bu çalışmada, sınırsız bir Petri ağının tersine dönüşebilirliğini garanti eden bir  $K$  sınır vektörünün bulunması için Yöntem 1 ve Yöntem 2 olarak adlandırılan iki yöntem geliştirilmiş, bu yöntemlerin Matlab'da oluşturulan Yöntem1.m ve Yöntem2.m programlarıyla gerçeklemeleri yapılmıştır.

Yöntem 1.  $m_0$ 'a tek bir geçiş ateşlemesiyle ulaşan işaretleme vektörlerinin bulunduğu, Petri ağının  $R'$  kümesini ve  $m_0$ 'dan bu elemanlara ulaşmak için ateşlenen geçiş dizilerindeki tüm işaretleme vektörlerini kapsayan sınır vektörünü Petri ağının tersine dönüşebilirliğini garanti eden sınır vektörü olarak belirlemektedir. Yöntem 2 ise, Mark&Silva Algoritması ile bulunan T-değişmezlerine ait geçiş dizilerinden  $m_0$ 'dan ateşlenebilenleri bulmaktadır. Bu ateşlemeler esnasında elde edilen tüm işaretleme vektörlerini kapsayan bir  $K$  sınır vektörünü Petri ağının tersine dönüşebilirliğini garanti eden sınır vektörü olarak belirlemektedir.

Yöntem 1'de Petri ağının kısmi tersine dönüşebilir olup olmadığı kesin olarak belirlenir. Yöntem 1, bir sınır vektörü öneriyorsa ağ kısmi tersine dönüşebilir, önermiyorsa ağ kısmi tersine dönüşebilir değildir. Yöntem 2 ise tek yönlüdür. Öyle ki, bir sınır vektörü öneriliyorsa ağ kısmi tersine dönüşebilir, önerilmiyorsa kesin bir yargıya varılamaz. Çünkü Yöntem 2'de sadece Mark&Silva Algoritması ile bulunan T-değişmezlerine karşılık gelen geçiş dizilerinin  $m_0$ 'dan ateşlenebilirliği kontrol edilmektedir. Oysa ki, Petri ağının  $\mathcal{O}$ 'dan farklı bir T-değişmezi varsa, sonsuz tane T-değişmezi vardır.

Bu tezde geliştirilen her iki yöntemle bulunan sınır vektörleri Petri ağının tersine dönüşebilirliğini garanti eden sınır vektörleridir. Öyle ki, bulunan sınır vektörleri, [11]'de geliştirilen Bounded-Set algoritmasına girdi olarak verildiğinde ilgili Petri ağının ulaşılabilirlik kümesinin sınırlı bir alt kümesi ( $R_B$ ) elde edilir.  $R_B$  Petri ağının ulaşılabilirlik kümesinin tersine dönüşebilir bir alt kümesini,  $R_r$ , kapsar. Bu kümenin elde edilmesi için yine [11]'de geliştirilen Reversible-Set algoritması kullanılmaktadır. Bölüm 4.3'de, bu veriler temel

alınarak tasarlanan kontrolör Petri ađının tersine dönüşebilirliğini garanti etmektedir.

Üretim sistemlerinde gereksiz stoklama, gereksiz kaynak kullanımı ve başlangıç durumuna dönememe; yer, zaman ve işgücü kaybına sebep olarak sistemin kontrolünü zorlaştırır, verimini azaltır. Bunun için, Petri ađı ile modellenmiş bir üretim sisteminin sınırlılık ve tersine dönüşebilir özellik taşıması, bu sistemlerin yüksek performans gösterebilmesi için aranan şartlardandır. Petri ađı ile modellenmiş bir sistemde, bu çalışmada belirlenen sınır vektörleri kullanılarak, Petri ađının ulaşılabilirlik kümesinin tersine dönüşebilir bir alt kümesi elde edilir.

Bundan sonraki çalışmalarda Yöntem 1 kullanılarak sınırsız ağların ulaşılabilirlik kümesinin kısmi tersine dönüşebilir bir alt kümesi bulunduğundan sonra, daha önce yapılan çalışmalardan faydalanılarak bu küme üzerinde tutarlılık, canlılık analizleri yapılabilir.

## KAYNAKLAR

- [1] AYBAR, A.. *Petri Ağlarında Örtüşmeli Ayrıştırma ve Genleştirme Kullanılarak Kontrolör Tasarımı*. Doktora Tezi, Anadolu Üniversitesi, Fen Bilimleri Enstitüsü, Eskişehir, Türkiye (2001).
- [2] HO, Y., *Discrete Event Dynamic Systems: Analyzing Complexity and Performance in the Modern World*, The Institute of Electrical and Electronics Engineering, Inc., Newyork (1992).
- [3] ZHOU, M. ve DICESARE, F.. *Petri Net Synthesis For Discrete Event Control of Manufacturing Systems*, Norwell, Massachusetts: Kluwer Academic Publishers (1993).
- [4] PROTH, J. ve XIE, X., *Petri Nets*, John Wiley & Sons, West Sussex (1996).
- [5] KARP, R. M. ve MILLER, R. E., *Parallel program schemata*, Journal of Computer System Science, **3**, 147–195 (1969).
- [6] SIFAKIS, J., *Structural properties of Petri nets*, Mathematical Foundation of Computer Science, **65**, 474–483 (1978).
- [7] MARTINEZ. J. ve SILVA, M.. *A simple and fast algorithm to obtain all invariants of a generalized Petri net*, In Applications and Theory of Petri Nets, **52**, 301–311 (1982).
- [8] CHEN, Y., TSAI, W. T. ve CHAO, D., *Dependency analysis: A Petri net based technique for synthesis large concurrent systems*, IEEE transactions on Parallel and Distributed Systems, **4**, 414–426 (1993)
- [9] YE, X., ZHOU, J. ve SONG, X., *On reachability graphs of Petri nets*, Computers & Electrical Engineering, **29**, 263–272 (2003).
- [10] AYBAR, A.. İFTAR. A. ve APAYDIN, H., *Centralized and decentralized supervisory controller design to enforce boundedness, liveness and reversibility in Petri nets*. (Yayınlanmak üzere gönderildi).

- [11] AYBAR, A. ve İFTAR, A., *Controller design to enforce boundedness, liveness, and reversibility in Petri nets*, Preprints of the 7th IFAC Workshop on Intelligent Manufacturing Systems, 199–204 (2003).
- [12] DESROCHERS, A. A. ve AL-JAAR, R. Y., *Applications of Petri Nets in Manufacturing Systems*, The Institute of Electrical and Electronics Engineers, Inc., New York, (1995).
- [13] PETERSON, J. L. *Petri Net Theory and the Modeling of Systems*, Englewood Cliffs, NJ : Prentice-Hall, New Jersey (1981).
- [14] RAFIEI, D., *Enterprise Modeling in Manufacturing*, Yüksek Lisans Tezi, University of Waterloo, Canada (1994).
- [15] ANTON, H., *Elementary Linear Algebra*, John Wiley Sons, Inc., Newyork (1994).
- [16] CASSANDRAS ve LAFORTUNE, *Introduction to Discrete Event Systems*, Kluwer, Norwell, MA (1999).

## EK-A

“cover.m” programı çalıştırılmadan önce, Petri ağının Matlab komut penceresinde çağrılan bir girdi dosyası (bkz. Ek-E) ile tanımlanması gerekir. Program bu işlemin ardından çağrılır.

### ALGORITMA-1 (Kapsayabilirlik ağacı algoritması ) için cover.m programı

```
TK=[];
R=[m0'];
Txmat=[];
Resmat=[];
Resmat1=[];
Bmat=[];
Oldmat=[];
[xnum,ynum]= size(N);
t=0;
Mmat=[];
check1=0;
while check1~=1
    [a,b]=size(R);
    Rmat=[];
    if a>0
        for j=1:b,
            R(:,j)';
            [Tr]= Ea(N,0,R(:,j)');
        [x,y]=size(Tr);
            [qnum,wnum]=size(Mmat);
            same=0;
            for i=1:y,
                Tr(i);
```

```

M=rho(N,O,R(:,j)',Tr(:,i));
    Txmat=[Txmat
    Tr(i)];
Bmat=[Bmat
    R(:,j)'];
Resmat=[Resmat
    M];
Oldmat=[Oldmat
    0];
[xx,yy]=size(Bmat);
[qq,ww]=size(Resmat);
Cmat=M;
Ymat=[];
tx=0;
while tx<1,
    for t=1:qq,
Cmat;
Resmat(t,:);
        if Cmat==Resmat(t,:)
            Cmat=Bmat(t,:);
            Ymat=[Ymat
            Bmat(t,:)];
        t=qq;
        break;
    end
end
if Cmat==m0
    tx=1;
break;
end

```

```

end
Ymat;
[aa,bb]=size(Ymat);
for l=1:aa,
    same=0;
    for v=1:xnum,
        if M(1,v)>=Ymat(1,v)
            same=same+1;
        end
    end
    if same==xnum
        for v=1:xnum,
            if M(1,v)>Ymat(1,v)
                M(1,v)=100;
            end
        end
    end
end
end

M;
for l=1:qq,
    same=0;
    same1=0;
    for v=1:xnum,
        if M(1,v)==Bmat(1,v) %| M(1,v)==Resmat(1,v)
            same=same+1;
        end
    end
    if same==xnum
Oldmat(qq)=1;

```





```

        Rmat=[Rmat M'];
    end
    Resmat1=[Resmat1
            M];
    Resmat=Resmat1;
end
end
R=Rmat;
t=t+1;
else
    check1=1;
end
end
tree=[m0];
[xx,yy]=size(Resmat);
for i=1:xx
    if Oldmat(i,1)==0
        tree=[tree
            Resmat(i,:)];
    end
end
end
Dead=[];
[dx,dy]=size(Resmat);
for i=1:dx
    Resmat(i,:);
    [Trd]= Ea(N,0,Resmat(i,:));
    [xa,ya]=size(Trd);
    [dxx,dyy]=size(Dead);
    if ya==0

```

```

if dxx==0
    Dead=[Dead ;Resmat(i,:)];
else
    samedd=0;
    for ii=1:dxx
        if Dead(ii,)==Resmat(i,:);
            samedd=1;
        end
    end
    if samedd==0
        Dead=[Dead ;Resmat(i,:)];
        [dxx,dyy]=size(Dead);
    end
end
end
end
end

```

```

Txmatt=Txmat';
Tdead=[];
[tx,ty]=size(Tdead);
[x1,y1]=size(Txmatt);
[x,y]=size(TK);
for i=1:y
    samet=0;
    for j=1:y1
        if TK(1,i)==Txmatt(1,j)
            samet=1;
        end
    end
end
if samet==0

```

```

[tx,ty]=size(Tdead);
    if ty==0
        Tdead=[Tdead TK(1,i)];
    else
        samed=0;
        for ii=1:ty
            if Tdead(1,ii)==TK(1,i)
                samed=1;
            end
        end
        if samed==0
            Tdead=[Tdead TK(1,i)];
            [tx,ty]=size(Tdead);
        end
    end
end
end
end
end

```

```

fid=fopen('result.m','w');
fprintf(fid,'%s','Bmat');
fprintf(fid,'\t\t');
fprintf(fid,'%s','Resmat');
fprintf(fid,'\t\t');
fprintf(fid,'%s','Txmat');
fprintf(fid,'\t');
fprintf(fid,'%s','Oldmat');
fprintf(fid,'\n');
fprintf(fid,'\n');
[a,b]=size(Bmat);
for i=1:a,

```

```

for j=1:xnum,
    if Bmat(i,j)~=100 & Bmat(i,j)~=200
        fprintf(fid,'%d',Bmat(i,j));
    else
        fprintf(fid,'%s','w');
    end
end
fprintf(fid,'\t\t');
for j=1:xnum,
    if Resmat(i,j)~=100 & Resmat(i,j)~=200
        fprintf(fid,'%d',Resmat(i,j));
    else
        fprintf(fid,'%s','w');
    end
end
fprintf(fid,'\t\t');
fprintf(fid,'%d',Txmat(i,:));
fprintf(fid,'\t\t');
fprintf(fid,'%d',Oldmat(i,:));
fprintf(fid,'\n');
end

[dx,dy]=size(Dead);
fprintf(fid,'\n\n');
fprintf(fid,'%s','DEAD MARKINGS');
fprintf(fid,'\n');
if dx==0
    fprintf(fid,'%s','No Dead Markings');
else
    for i=1:dx,
        for j=1:dy,

```

```

        if Dead(i,j)~=100 & Dead(i,j)~=200
            fprintf(fid,'%d',Dead(i,j));
        else
            fprintf(fid,'%s','w');
        end
    end
end
fprintf(fid,'\n');
end
end

[dx,dy]=size(Tdead);
fprintf(fid,'\n\n');
fprintf(fid,'%s','DEAD TRANSITIONS');
fprintf(fid,'\n');
if dy==0
    fprintf(fid,'%s','No Dead Transitions ');
else
    for i=1:dy
        fprintf(fid,'%d',Tdead(1,i));
        fprintf(fid,'\t\t');
    end
end
fclose(fid);
[a,b]=size(Resmat);
Wmat=[];
for i=1:a,
    for j=1:b,
        if Resmat(i,j)==100 | Resmat(i,j)==200
            [c,d]=size(Wmat);
            same=0;

```

```

    for k=1:c,
        if Wmat(k,:) == Resmat(i,:)
            same=same+1;
        end
    end
    if same==0
        Wmat=[Wmat
            Resmat(i,:)];
        break;
    end
end
end
end

end

[q,w]=size(Wmat);
Tsize=[];
for i=1:q,
    wnum=0;
    for j=1:w,
        if Wmat(i,j)==100 | Wmat(i,j)==200
            wnum=wnum+1;
        end
    end
    Tsize=[Tsize
        wnum];
end

maxnum=max(Tsize);
Wmat2=[];
Wmat1=[];
for i=1:q,
    if Tsize(i)==maxnum

```

```

        Wmat2=[Wmat2
              Wmat(i,:)];
    else
        Wmat1=[Wmat1
              Wmat(i,:)];
    end
end
end
Tn=[];
Tw=[];
for j=1:w,
    if Wmat2(1,j)==100 | Wmat2(1,j)==200
        Tw=[Tw
            j];
    else
        Tn=[Tn
            j];
    end
end
end
[a,b]=size(Wmat2);
[c,d]=size(Tw);
Wend=[];
for i=1:a,
    for j=1:c,
        Wmat2(i,Tw(j))=300;
    end
    [q,w]=size(Wend);
    same=0;
    for k=1:q,
        if Wmat2(i,:)==Wend(k,:)
            same=1;
        end
    end
end

```



```
end
end
if same==0
    Wend=[Wend
        Wmat2(i,:)];
end
end
[xx,yy]=size(Wend);
snr=Tw;
```

## EK-B

“Tinv.m” programı çalıştırılmadan önce, Petri ağının Matlab komut penceresinde çağrılan bir girdi dosyası (bkz. Ek-E) ile tanımlanması gerekir. Program, bu işlemin ardından çağrılır.

### ALGORITMA-2 (Mark&Silva algoritması ) için

#### Tinv.m programı

```
A=0-N;
hanA=null(A);
if isempty(hanA)==0
[a,b]=size(A');
AA=[eye(a) A'];
[c,d]=size(AA);
for han=a+1:d,
    han;
    T=[];
    BB=[];
    for j=1:c,
        for z=1:c,
            if AA(j,han)+AA(z,han)==0 & AA(j,han)~=0 & AA(z,han)~=0
                AA(j,:);%
                AA(z,:);%
                aa=AA(j,:)+AA(z,:);%
                BB=[BB;aa];
                T=[T j z];
            end
        end
    end
end
Tx=[];
```

```

same=0;
[e f]=size(Tx);
[g h]=size(T);
for j=1:h,
    for z=1:f,
        if Tx(1,z)==T(1,j)
            same=1;
            break
        end
    end
end
if same ~=1
    Tx=[Tx T(1,j)];
    [e f]=size(Tx);
end
same=0;
end

```

```

[e f]=size(Tx);
AA=[AA;BB];
[fa,fb]=size(AA);
CC=[];
flag=0;
for ii=1:fa,
    flag=0;
    for jj=1:f,
        if ii==Tx(1,jj)
            flag=1;
        end
    end
end
if flag==0

```

```

        CC=[CC;AA(ii,:)];
    end
end
AA=CC;

same=0;
[c,d]=size(AA);
Ax=[];
[e,f]=size(Ax);
for i=1:c,
    for j=1:e,
        if AA(i,')==Ax(j,:)
            same=1;
            break
        end
    end
    if same==0
        Ax=[Ax ;AA(i,:)];
    end
    [e,f]=size(Ax);
    same=0;
end
AA=Ax;
[c,d]=size(AA);
end

[a,b]=size(A');
Tin=[];
[c,d]=size(AA);
for i=1:c,

```

```
b=AA(i,a+1:d);
    if b==0
        Tin=[Tin;AA(i,1:a)];
    end
end
else
end
```

## EK-C

“Yöntem1.m” programı çalıştırılmadan önce, Petri ağının Matlab komut penceresinde çağrılan bir girdi dosyası (bkz. Ek-E) ile tanımlanması gerekir. Program, bu işlemin ardından çağrılır.

### Yöntem1.m programı

```
A=0-N;
[P,T]=size(N);
if rank(A)==T
    disp('PA ktd. degildir');
else
    cover;      % ALGORITMA-1
    FindR0;     % ALGORITMA-3
    FindRtilde; % ALGORITMA-4

Rp=[]; %R' kmesinin olusturulmasi
[aa,bb]=size(Rtilde);
for i=1:aa
    [Tr]= Ea(N,0,Rtilde(i,:));
    [aaa,bbb]=size(Tr);
    for ii=1:bbb
        M=rho(N,0,Rtilde(i,:),Tr(:,ii));
        if M==m0
            Rp=[Rp;Rtilde(i,:)];
        end
    end
end
end
[aq,bq]=size(Rp);
a=0;
for ii=1:aq,
```

```

        if Rp(ii,:)~=m0
            a=1;
        end
    end
end

if a==0
    disp('PA ktd. degildir');
else
    FindMin_K; %ALGORITMA-5
end
end

fid=fopen('OutputFile1.m','w');
fprintf(fid,'%s','Rtilde: ');
fprintf(fid,'\n\n');
[a,b]=size(Rtilde);
for i=1:a,
    for j=1:b,
        fprintf(fid,'%d',Rtilde(i,j));
    end
    fprintf(fid,'\n');
end
fprintf(fid,'\n\n');
fprintf(fid,'%s','Rp: ');
fprintf(fid,'\n\n');
[a,b]=size(Rp);
for i=1:a,
    for j=1:b,
        fprintf(fid,'%d',Rp(i,j));
    end
end

```

```

    fprintf(fid, '\n');
end
fprintf(fid, '\n\n');
fprintf(fid, '%s', 'K: ');
fprintf(fid, '\n\n');
[a,b]=size(K);

for i=1:a,
    for j=1:b,
        fprintf(fid, '%d', K(i,j));
    end
    fprintf(fid, '\n');
end
fclose(fid);

```

**ALGORITMA-3 ( $R_0$  oluşturma algoritması) için  
FindR0.m programı**

```

R=[m0'];
Txmat=[];
Resmat=[];
Bmat=[];
Oldmat=[];
Stepmat=[];
Inmat=[];
Txx=[];
Rx=[];
[xnum,ynum]= size(N);
Inmat=[1];
t=0;
Mmat=[];

```



```

check1=0;
Step=0;
XX=0;
ind=1;
while check1~=1
    [a,b]=size(R);
    Step=Step+1;
    Rmat=[];
    Rxmat=[];
    if a>0
        for j=1:b,
            R(:,j)';
            Trx=[];
            [Tr]= Ea(N,0,R(:,j)');
[x,y]=size(Tr);
            Trx=[Tr zeros(1,xnum-y)];
            [qnum,wnum]=size(Mmat);
            same=0;
            for i=1:y,
                Tr(i);
                M=rho(N,0,R(:,j)',Tr(:,i));
                ind=ind+1;
                Txmat=[Txmat
                    Tr(i)];
                Bmat=[Bmat
                    R(:,j)'];
                Resmat=[Resmat
                    M];
                Oldmat=[Oldmat
                    0];

```

```

Stepmat=[Stepmat
        Step];
Inmat=[Inmat
       ind];
Txx=[Txx
     Trx];
[xx,yy]=size(Bmat);
[qq,ww]=size(Resmat);
[aa,bb]=size(M);
for tw=1:qq-1,
    same=0;
    if M==Resmat(tw,:)
        Oldmat(qq)=2;
        break;
    end
end
for k=1:xx,
    sims=0;
    for w=1:bb,
        if Bmat(k,w)==M(:,w)
            sims=sims+1;
        end
    end
    if sims==bb
        Oldmat(qq)=2;
        break;
    end
    sim=0;
    for w=1:bb,
        if M(:,w)>=Bmat(k,w)

```

```

        sim=sim+1;
    end
end
    if sim==bb
        sim1=0;
        [Trv]= Ea(N,0,M);
[xv,yv]=size(Trv);
    Trxv=[Trv zeros(1,xnum-yv)];
        for v=1:xnum,
            if Txx(k,v)==Trxv(:,v)
                sim1=sim1+1;
            end
        end
        if sim1==xnum
            Oldmat(qq)=1;
            break;
        end
    end
end
    if Oldmat(qq)==0
        Rmat=[Rmat
            M];
    end
[ax,bx]=size(Rx);
[ay,by]=size(Rxmat) ;
    if Oldmat(qq)==1
        for n=1:ax,
            if M==Rx(n,:)
                Oldmat(qq)=2;
            end
        end
    end

```

```

        end
    for m=1:ay,
        if M==Rxmat(m,:)
            Oldmat(qq)=2;
        end
    end
end
end
if Oldmat(qq)==1
    Rxmat=[Rxmat
          M];
end
end
end
R=Rmat';
Rx=[Rx
    Rxmat];
end
[I,J]=find(Oldmat==0);
if Stepmat(max(I))<Stepmat(qq)
    check1=1;
end
if isempty(I)==1
    check1=1;
end
end
RO=[];
RO=[m0];
[ax,bx]=size(Resmat);
[cx,dx]=size(RO);
for i=1:ax,

```

```

same=0;
for j=1:cx,
    if Resmat(i,:)==RO(j,:)
        same=1;
    end
end
if same==0
    RO=[RO
        Resmat(i,:)];
    [cx,dx]=size(RO);
end
end
end

```

**ALGORITMA-4 ( $\tilde{R}$  oluřturma algoritması)için  
FindRtilde.m programı**

```

R=[Rx'];
Txmat1=[];
Resmat1=[];
Bmat1=[];
Oldmat1=[];
Stepmat1=[];
Txx1=[];
Rx1=[];
[xnum,ynum]= size(N);
Inmat1=[ind];
t=0;
Mmat=[];
check1=0;
Step=0;
while check1~=1

```

```

[a,b]=size(R);
Step=Step+1;
Rmat=[];
Rxmat1=[];
if a>0
for j=1:b,
R(:,j)';
Trx=[];
[Tr]= Ea(N,0,R(:,j)');
[x,y]=size(Tr);
Trx=[Tr zeros(1,xnum-y)];
[qnum,wnum]=size(Mmat);
same=0;
for i=1:y,
Tr(i);
M=rho(N,0,R(:,j)',Tr(:,i));
ind=ind+1;
Txmat1=[Txmat1
Tr(i)];
Bmat1=[Bmat1
R(:,j)'];
Resmat1=[Resmat1
M];
Oldmat1=[Oldmat1
0];
Stepmat1=[Stepmat1
Step];
Inmat1=[Inmat1
ind];
Txx1=[Txx1

```

```

        Trx];
[xx,yy]=size(Bmat1);
[qq,ww]=size(Resmat1);
[aa,bb]=size(M);
[aq,bq]=size(R0);
for tw=1:qq-1,
    if M==Resmat1(tw,:)
        Oldmat1(qq)=2;
        break;
    end
end
for ty=1:aq,
    if M==R0(ty,:)
        Oldmat1(qq)=2;
        break;
    end
end
for k=1:xx,
    sims=0;
    for w=1:bb,
        if Bmat1(k,w)==M(:,w)
            sims=sims+1;
        end
    end
    if sims==bb
        Oldmat1(qq)=2;
        break;
    end
sim=0;
for w=1:bb,

```

```

        if M(:,w)>=Bmat1(k,w)
            sim=sim+1;
        end
    end
    if sim==bb
        sim1=0;
        [Trv]= Ea(N,0,M);
[xv,yv]=size(Trv);
        Trxv=[Trv zeros(1,xnum-yv)];
        for v=1:xnum,
            if Txx1(k,v)==Trxv(:,v)
                sim1=sim1+1;
            end
        end
        if sim1==xnum
            Oldmat1(qq)=1;
            break;
        end
    end
    if Oldmat1(qq)==0
        Rmat=[Rmat
            M];
    end
    [ax,bx]=size(Rx1);
    [ay,by]=size(Rxmat1);
    if Oldmat1(qq)==1
        for n=1:ax,
            if M==Rx1(n,:)
                Oldmat1(qq)=2;
            end
        end
    end

```



```

        end
    end
    for m=1:ay,
        if M==Rxmat1(m,:)
            Oldmat1(qq)=2;
        end
    end
    end
    end
    if Oldmat1(qq)==1
        Rxmat1=[Rxmat1
            M];
    end
    end
    end
    R=Rmat';
    Rx1=[Rx1
        Rxmat1];
end
[I,J]=find(Oldmat1==0);
if Stepmat1(max(I))<Stepmat1(qq)
    check1=1;
end
if isempty(I)==1
    check1=1;
end
end
end
R01=[];
R01=[];
[ax,bx]=size(Resmat1);
[cx,dx]=size(R01);

```

```

[wx,wy]=size(R0);
for i=1:ax,
    same=0;
    for j=1:cx,
        if Resmat1(i,:)==R01(j,:)
            same=1;
        end
    end
    same1=0;
    for j=1:wx,
        if Resmat1(i,:)==R0(j,:)
            same1=1;
        end
    end
    if same==0 & same1==0
        R01=[R01
            Resmat1(i,:)];
        [cx,dx]=size(R01);
    end
end
[x,y]=size(R01);
[a,b]=size(snr);
same=0;
for i=1:x,
    for j=1:a,
        if m0(:,snr(j))-1 <= R01(i,snr(j)) & R01(i,snr(j))<=m0(:,snr(j))+1
            same=1;
        end
    end
end
end

```

```

    neigho=0;
if same==0
    neigho=0;
else
    neigho=1;
end
if neigho==1
    R=[Rx1'];
Txmat2=[];
Resmat2=[];
Bmat2=[];
Oldmat2=[];
Stepmat2=[];
Txx2=[];
Rx2=[];
[xnum,ynum]= size(N);
Inmat2=[ind];
t=0;
Mmat=[];
check1=0;
Step=0;
while check1~=1
    [a,b]=size(R);
    Step=Step+1;
    Rmat=[];
    Rxmat2=[];
    if a>0
        for j=1:b,
            R(:,j)';
            Trx=[];

```

```

[Tr]= Ea(N,0,R(:,j)');
[x,y]=size(Tr);
Trx=[Tr zeros(1,xnum-y)];
[qnum,wnum]=size(Mmat);
same=0;
for i=1:y,
    Tr(i);
    M=rho(N,0,R(:,j)',Tr(:,i));
    ind=ind+1;
    Txmat2=[Txmat2
            Tr(i)];
    Bmat2=[Bmat2
           R(:,j)'];
    Resmat2=[Resmat2
            M];
    Oldmat2=[Oldmat2
            0];
    Stepmat2=[Stepmat2
            Step];

    Inmat2=[Inmat2
            ind];
    Txx2=[Txx2
          Trx];
    [xx,yy]=size(Bmat2);
    [qq,ww]=size(Resmat2);
    [aa,bb]=size(M);
    [aq,bq]=size(R0);
    [aq1,bq1]=size(R01);
    for tw=1:qq-1,

```

```

    if M==Resmat2(tw,:)
        Oldmat2(qq)=2;
        break;
    end
end
for ty=1:aq,
    if M==R0(ty,:)
        Oldmat2(qq)=2;
        break;
    end
end
for tq=1:aq1,
    if M==R01(tq,:)
        Oldmat2(qq)=2;
        break;
    end
end
for k=1:xx,
    sims=0;
    for w=1:bb,
        if Bmat2(k,w)==M(:,w)
            sims=sims+1;
        end
    end
    if sims==bb
        Oldmat2(qq)=2;
        break;
    end
sim=0;
for w=1:bb,

```

```

        if M(:,w)>=Bmat2(k,w)
            sim=sim+1;
        end
    end
    if sim==bb
        sim1=0;
        [Trv]= Ea(N,0,M);
[xv,yv]=size(Trv);
        Trxv=[Trv zeros(1,xnum-yv)];
        for v=1:xnum,
            if Txx2(k,v)==Trxv(:,v)
                sim1=sim1+1;
            end
        end
        if sim1==xnum
            Oldmat2(qq)=1;
            break;
        end
    end
    end
    if Oldmat2(qq)==0
        Rmat=[Rmat
            M];
    end
    [ax,bx]=size(Rx2);
    [ay,by]=size(Rxmat2);
    if Oldmat2(qq)==1
        for n=1:ax,
            if M==Rx2(n,:)
                Oldmat2(qq)=2;
            end
        end
    end
end

```

```

        end
    end
    for m=1:ay,
        if M==Rxmat2(m,:)
            Oldmat2(qq)=2;
        end
    end
    end
    end
    if Oldmat2(qq)==1
        Rxmat2=[Rxmat2
            M];
    end
    end
    end
    R=Rmat';
    Rx2=[Rx2
        Rxmat2];
end
[I,J]=find(Oldmat2==0);
if Stepmat2(max(I))<Stepmat2(qq)
    check1=1;
end
if isempty(I)==1
    check1=1;
end
end
end
R02=[];
[ax,bx]=size(Resmat2);
[cx,dx]=size(R01);
[wX,wy]=size(R0);

```

```

[qx,qy]=size(R02);
for i=1:ax,
    same=0;
    for j=1:cx,
        if Resmat2(i,:)==R01(j,:)
            same=1;
        end
    end
    same1=0;
    for j=1:wx,
        if Resmat2(i,:)==R0(j,:)
            same1=1;
        end
    end
    same2=0;
    for j=1:qx,
        if Resmat2(i,:)==R02(j,:)
            same2=1;
        end
    end
    if same==0 & same1==0 & same2==0
        R02=[R02
            Resmat2(i,:)];
        [qx,qy]=size(R02);
    end
end
end
Rx2;
R02;
[x,y]=size(R02);
[a,b]=size(snr);

```



```

same=0;
for i=1:x,
    for j=1:a,
        if m0(:,snr(j))-1 <= R02(i,snr(j)) & R02(i,snr(j))<=m0(:,snr(j))+1
            same=1;
        end
    end
end
neigho1=0;
if same==0
    neigho1=0;
else
    neigho1=1;
end
if neigho1==0 & neigho==1
    Rtilde=[R0
            R01];
    Bson=[Bmat
          Bmat1];
    Resson=[Resmat
           Resmat1];
    Oldson=[Oldmat
           Oldmat1];
    Stepson=[Stepmat
            Stepmat1];
    Inson=[Inmat
          Inmat1];
end
if neigho1==1
    Rtilde=[R0

```

```

        R01
    R02];
Bson=[Bmat
    Bmat1
    Bmat2];
Resson=[Resmat
    Resmat1
    Resmat2];
Oldson=[Oldmat
    Oldmat1
    Oldmat2];
Stepson=[Stepmat
    Stepmat1
    Stepmat2];
Inson=[Inmat
    Inmat1
    Inmat2];
end
else
    Rtilde=[R0];
    Bson=[Bmat
        ];
    Resson=[Resmat
        ];
    Oldson=[Oldmat
        ];
    Stepson=[Stepmat
        ];
    Inson=[Inmat
        ];

```

end

## ALGORITMA-5 (Minimum K algoritması) için

### FindMin-K.m programı

```
[a,b]=size(Rp);
[xx,yy]=size(Bson);
[qq,ww]=size(Resson);
Kmat=[];
for i=1:a,
    check=0;
    Cmat=Rp(i,:);
    Yson=Cmat;
    bas=0;
    while check<1,
        for t=1:qq,
            if Cmat==Resson(t,:)
                Cmat=Bson(t,:);
                Yson=[Yson
                    Bson(t,:)];
            t=qq;
            bas=1;
            break;
        end
    end
    if Cmat==m0
        check=1;
        Yson;
        K=max(Yson);
        Kmat=[Kmat
            K];
    end
end
```

```
        break;
    end
end
end
[c,d]=size(Kmat);
if c==1
    K=Kmat;
else
    K=max(Kmat);
end
```

## EK-D

“Yöntem2.m” programı çalıştırılmadan önce, Petri ağının Matlab komut penceresinde çağrılan bir girdi dosyası (bkz. Ek-E) ile tanımlanması gerekir. Program, bu işlemin ardından çağrılır.

### Yöntem2.m programı

```
A=0-N;
[P,T]=size(N);
if rank(A)==T
    disp('PA ktd. degildir');
else
    Tinv; %ALGORITMA-2
    FindPath; %ALGORITMA-6
    [a,b]=size(Kx);
    if a==1
        K=Kx;
    else
        K=max(Kx);
    end
end
```

### ALGORITMA-6 (Yol Bulma algoritması) için

#### FindPath.m programı

```
fid=fopen('OutputFile2.m','w');
[xnum,ynum]= size(N);
Kx=[];
Kmat=[];
[aq,bq]=size(Tin);
for iq=1:aq,
    C=Tin(iq,:);
```

```

R=[m0'];
Txmat=[];
Resmat=[];
Resmat1=[];
Bmat=[];
Oldmat=[];
t=0;
Mmat=[];
check1=0;
while check1~=1
    [a,b]=size(R);
    Rmat=[];
    if a>0
        for j=1:b,
            R(:,j)';
            [Tr]= Ea(N,0,R(:,j)');
            [x,y]=size(Tr);
            [qnum,wnum]=size(Mmat);
            same=0;
            for i=1:y,
                Tr(i);
                M=rho(N,0,R(:,j)',Tr(:,i));
                [xx,yy]=size(Bmat);
                [qq,ww]=size(Resmat);
            prev=0;
            ind=0;
            Ymat2=[];
            Tmat2=[];
            for q1=1:qq,
                if M==Resmat(q1,:)

```

```

        Cmat=Bmat(q1,:);
    Ymat2=[Ymat2
        Bmat(q1,:)];
    Tmat2=[Tmat2
        Txmat(q1)];
        prev=1;
        ind=q1;
    break;
end
    end
if prev==1
    tx=0;
    while tx<1,
        for t=1:qq,
            Cmat;
            Resmat(t,:);
            if Cmat==Resmat(t,:) & Oldmat(t)== 0
                Cmat=Bmat(t,:);
                Ymat2=[Ymat2
                    Bmat(t,:)];
                Tmat2=[Tmat2
                    Txmat(t)];
            break;
        end
    end
    end
    if Cmat==m0
        tx=1;
    break;
    end
end
end

```

```

Ymat2;
Tmat2;
end

Txmat=[Txmat
      Tr(i)];

Bmat=[Bmat
      R(:,j)'];

Resmat=[Resmat
      M];

Oldmat=[Oldmat
      0];

[xx,yy]=size(Bmat);
[qq,ww]=size(Resmat);

Cmat=R(:,j)';

Ymat=[];
Tmat=[];

Ymat=[Ymat
      R(:,j)'];

Tmat=[Tmat
      Tr(i)];

tx=0;

while tx<1,
    for t=1:qq,
        Cmat;
        Resmat(t,:);

        if Cmat==Resmat(t,:) & Oldmat(t)== 0
            Cmat=Bmat(t,:);
            Ymat=[Ymat
                  Bmat(t,:)];
            Tmat=[Tmat

```



```

        Txmat(t)];
    break;
end
end
    end
    if Cmat==m0
        tx=1;
        break;
    end
end
end
Ymat;
Tmat;
Ymat2;
Tmat2;
Ymat;
Tmat;
E1=max(Ymat);
E2=max(Ymat2);
if isempty(E2)==0
    if E2>E1
        Oldmat(ind)=1;
    else
        Oldmat(qq)=1;
    end
end
end
[aa,bb]=size(Tmat);
Cma=zeros(1,ynum);
for ww=1:ynum,
    same=0;
    for tq=1:aa,
        if ww==Tmat(tq)

```

```

        same=same+1;
    end
    end
    Cma(1,ww)=same;
end
Cma ;
neg=0;
Diff=C-Cma;
sames=0;
for xa=i:ynum,
    if Diff(1,xa)<0
        neg=1;
    end
    if Diff==0
        neg=2;
    end
    end
    if neg==1
Oldmat(qq)=1;
        end
        if neg==2
            Oldmat(qq)=2;
        end
        end
[yy,ll]=size(Rmat);
Rmat1=Rmat';
    if Oldmat(qq)==0
        Rmat=[Rmat M'];
    end
end
end
end

```

```

R=Rmat;
else
    check1=1;
end
end
fprintf(fid,'%s','Bmat');
for i=1:xnum,
    fprintf(fid,'\t');
end
fprintf(fid,'%s','Resmat');
for i=1:xnum,
    fprintf(fid,'\t');
end
fprintf(fid,'%s','Txmat');
fprintf(fid,'\t');
fprintf(fid,'%s','Oldmat');
fprintf(fid,'\n');
fprintf(fid,'\n');
[a,b]=size(Bmat);
for i=1:a,
    for j=1:xnum,
        if Bmat(i,j)~=100
            fprintf(fid,'%d',Bmat(i,j));
        else
            fprintf(fid,'%s','w');
        end
    end

end
fprintf(fid,'\t\t');
for j=1:xnum,

```

```

    if Resmat(i,j)~=100 & Resmat(i,j)~=200
        fprintf(fid,'%d',Resmat(i,j));
    else
        fprintf(fid,'%s','w');
    end
end
fprintf(fid,'\t\t');
fprintf(fid,'%d',Txmat(i,:));
fprintf(fid,'\t');
fprintf(fid,'%d',Oldmat(i,:));
fprintf(fid,'\n');
end
fprintf(fid,'\n');
fprintf(fid,'\n');
fprintf(fid,'%s','Time Invariant');
fprintf(fid,'\n');
[a2,b2]=size(C);
for q2=1:b2,
    fprintf(fid,'%d',C(1,q2));
end
fprintf(fid,'\n');
fprintf(fid,'\n');
[q4,w4]=size(Bmat);
for i1=1:q4,
    if Oldmat(i1)==2
        Ymat=[];
        Tmat=[];
        Ymat=[Ymat
            Bmat(i1,:)];
        Cmat=Bmat(i1,:);
    end
end

```

```

    tx1=0;
while tx1<1,
    for t1=1:q4,
        Cmat;
        Resmat(t1,:);
        if Cmat==Resmat(t1,:) & Oldmat(t1)== 0
            Cmat=Bmat(t1,:);
            Ymat=[Ymat
                Bmat(t1,:)];
            Tmat=[Tmat
                Txmat(t1)];
            break;
        end
    end
    if Cmat==m0
        tx1=1;
        break;
    end
end

Road=Ymat;
K=max(Road);
Kmat=[Kmat
    K];
fprintf(fid,'%s','Road');
fprintf(fid,'\n');
[a3,b3]=size(Road);
for nq=1:a3,
    for mq=1:b3,
        fprintf(fid,'%d',Road(nq,mq));
    end
end

```

```

        fprintf(fid, '\n');
    end
    fprintf(fid, '%s', 'K :');
    fprintf(fid, '\n');
    for q2=1:b3,
        fprintf(fid, '%d', K(1,q2));
    end
    fprintf(fid, '\n');
    fprintf(fid, '\n');
end
end
    fprintf(fid, '\n');
    fprintf(fid, '\n');
    fprintf(fid, '\n');
    fprintf(fid, '\n');
end
fclose(fid);
Kx=Kmat;

```

## EK-E

“cover.m”, “Tinv.m”, “Yöntem1.m”, “Yöntem2.m” programlarının herbirinin çalıştırılması öncesinde analizi yapılacak Petri ağının aşağıda verilen formatta bir girdi dosyasıyla tanımlanması ve bu dosyanın Matlab komut penceresinde çağrılması gerekmektedir. Aşağıdaki girdi dosyası Örnek 4.1'deki Petri ağına aittir.

$$N = \begin{bmatrix} 1 & 0 & 0 \\ 0 & 1 & 1 \\ 0 & 1 & 0 \end{bmatrix}$$

$$O = \begin{bmatrix} 0 & 1 & 1 \\ 1 & 0 & 0 \\ 1 & 0 & 0 \end{bmatrix}$$

$$m_0 = [2 \ 1 \ 0]$$